

**МИНИСТЕРСТВО ЭНЕРГЕТИКИ И ЭЛЕКТРИФИКАЦИИ СССР
ГЛАВНИЙ ПРОЕКТ
ВСЕСОЮЗНЫЙ
ордена ТРУДОВОГО КРАСНОГО ЗНАМЕНИ
НАУЧНО-ИССЛЕДОВАТЕЛЬСКИЙ ИНСТИТУТ ГИДРОТЕХНИКИ
имени Б. Е. ВЕДЕНЕЕВА**

**ИНСТРУКЦИЯ
ПО ГИДРАВЛИЧЕСКОМУ РАСЧЕТУ СИСТЕМ
НАПОРНОГО ГИДРОТРАНСПОРТА ГРУНТОВ**

П 59-72



МИНИСТЕРСТВО ЭНЕРГЕТИКИ И ЭЛЕКТРИФИКАЦИИ СССР
ГЛАВНИИПРОЕКТ
ВСЕСОЮЗНЫЙ ОРДЕНА ТРУДОВОГО КРАСНОГО ЗНАМЕНИ
НАУЧНО-ИССЛЕДОВАТЕЛЬСКИЙ ИНСТИТУТ ГИДРОТЕХНИКИ
имени Б. Е. ВЕДЕНЕЕВА

ИНСТРУКЦИЯ
ПО ГИДРАВЛИЧЕСКОМУ РАСЧЕТУ СИСТЕМ
НАПОРНОГО ГИДРОТРАНСПОРТА ГРУНТОВ

П 59-72



„ЭНЕРГИЯ“
Ленинградское отделение
1972

Излагается методика гидравлического расчета системы «грунтовый насос—трубопровод» при гидравлическом транспорте несвязных грунтов.

**Инструкция по гидравлическому расчёту систем
напорного гидротранспорта грунтов**

П 59-72

«Энергия», Ленинградское отделение, 1972 г., стр. 32 с рис.

Научный редактор — И. А. Гиршкан

Редактор Е. Н. Боравская

Сдано в производство 20/IV 1972 г.
М-06503. Печ. л. 2,0 + 2 вкл.
Формат 60×90/16. Зак. 210.

Подписано к печати 28/VI 1972 г.
Уч.-изд. л. 2,87. Бум. л. 1,0.
Тираж 1000 Цена 29 коп.

Типография Всесоюзного научно-исследовательского института гидротехники
имени Б. Е. Веденеева. 194220. Ленинград, Гжатская ул., 21.

ПРЕДИСЛОВИЕ

Трубопроводный транспорт грунтов и различных материалов получил в СССР широкое распространение. Существующие многочисленные эмпирические методы и формулы инженерного гидравлического расчета гидротранспортных систем зачастую противоречивы, поэтому создание нормативных документов в этой области, основанных на заслуживающих доверия исследованиях, является настоятельной необходимостью. Исходя из этого в 1967 г. были выпущены «Технические указания по расчету напорного гидравлического транспорта грунтов». Настоящая инструкция является переработанным и дополненным изданием «Указаний» 1967 г. В ней, помимо гидравлического расчета незаиленных трубопроводов, изложены вопросы проектирования гидротранспортной системы «грунтовый насос—трубопровод» и включены отсутствующие в первом издании разделы по пересчету рабочих характеристик грунтовых насосов с воды на гидросмесь и определению наивыгоднейшего режима работы гидротранспортной системы.

В приложениях даны обоснования методики расчета, некоторые справочные материалы и примеры расчетов. Настоящая инструкция разработана следующими организациями и лицами

- 1) ВНИИГ им. Б. Е. Веденеева: М. А. Дементьев, В. А. Мелентьев, В. П. Щербаков;
- 2) МИСИ им. В. В. Куйбышева: А. П. Юфин, Н. Т. Белова, Л. И. Гусак;
- 3) институт гидромеханики АН УССР. [Н. А. Силин], Ю. К. Витошкин, В. М. Карасик;
- 4) ВНИИНЕРУД. В. К. Супрун, Б. В. Михайлов;
- 5) треста «Гидромеханизация» Минэнерго. Н. А. Лопатин, Г. Н. Масляков, И. П. Ефимов, Н. В. Ивановская.

Рукопись Инструкции была просмотрена начальником Отдела дальнего гидротранспорта УкрНИИГидроуголь Н. Е. Оffenгенденом. Рецензирование рукописи было выполнено в Институте «Гидропроект» имени С. Я. Жука — Б. М. Шкундным, в ЛПИ им. М. И. Калинина [В. С. Кнорозом] и в Ленморниипроекте — В. Н. Песочинским.

Инструкция утверждена Главниипроектом Минэнерго СССР (решение № 17 от 20 января 1972 года) и отнесена согласно СН 395-69 к разделу «пособий и руководств»

МИНИСТЕРСТВО
ЭНЕРГЕТИКИ
И ЭЛЕКТРИФИКАЦИИ
СССР

Инструкция по гидравлическому
расчету систем напорного
гидротранспорта грунтов

Взамен
ВСН-02-66

1. ОСНОВНЫЕ ПОЛОЖЕНИЯ

1.1. Настоящая Инструкция распространяется на гидравлические расчеты, связанные с выбором основного гидротранспортного оборудования (грунтовых насосов с электродвигателями переменного тока) и трубопроводов для гидравлического транспорта несвязных грунтов (песчаных, гравийных, галечниковых) и продуктов дробления крупнообломочных пород с удельным весом вещества $2,60-2,70 \text{ т}/\text{м}^3$. Расчет гидравлического транспорта углей, золошлаковых материалов, связных глинистых грунтов, различных структурных смесей и других материалов в настоящей Инструкции не рассматривается.

1.2. Приведенные формулы применяются для расчета гидравлического транспорта грунтов средневзвешенной крупности $d_0=0,25-70 \text{ мм}$ при $d_0/D \leq 0,15$, наибольшей относительной крупности частиц грунта $d_{\max} \leq 0,3D$ и объемной консистенции гидросмеси не более 0,3 (D — диаметр трубопровода)

1.3. В Инструкции учитывается зависимость потерь напора от следующих основных факторов диаметра трубопровода и шероховатости его внутренней поверхности, скорости движения гидросмеси и ее консистенций, средневзвешенной крупности и коэффициента разнозернистости грунта. Инструкция не распространяется на гидросмеси с твердыми частицами, которые имеют форму пластинок, игл и т. д.

1.4. В Инструкции принята следующая терминология и обозначения:

трубопровод (пульпопровод) — система труб, по которой транспортируется гидросмесь;

гидросмесь (пульпа) — механическая смесь твердого материала с водой;

земснаряд — агрегат, включающий грунтовый насос с двигателем, грунтозаборное устройство на подъемной раме и механизмы для перемещений в процессе разработки грунта;

расход гидросмеси $Q_{\text{см}}$, $\text{м}^3/\text{сек}$; $\text{м}^3/\text{ч}$ — суммарный объем воды и твердого материала, проходящий через поперечное сечение трубопровода за единицу времени;

ВНЕСЕНА

Всесоюзным научно-исследовательским
институтом гидротехники
имени Б. Е. Веденеева,
Московским инженерно-строительным
институтом имени В. В. Куйбышева,
Институтом гидромеханики АН УССР,
Всесоюзным научно-исследовательским
институтом нерудных материалов,
Трестом Гидромеханизация

УТВЕРЖДЕНА:
ГЛАВНИИПРОЕКТОМ
МИНЭНГЕРГО СССР

СРОК ВВЕДЕНИЯ
1 июня 1972 г.

расчетная скорость v , м/сек — средняя по поперечному сечению трубы скорость гидросмеси,

критическая скорость v_{kp} , м/сек — средняя по поперечному сечению трубы скорость движения гидросмеси, соответствующая началу выпадения частиц грунта из потока на дно трубы.

действительный удельный вес гидросмеси γ_{cm} , кг/м³ — вес движущейся гидросмеси в объеме между двумя поперечными сечениями трубы, деленный на этот объем;

действительная объемная консистенция гидросмеси c_0 (величина безразмерная) — отношение суммы объемов движущихся твердых частиц в объеме трубы между двумя ее поперечными сечениями к величине этого объема; связь между величинами γ_{cm} и c_0 выражается формулой

$$c_0 = \frac{\gamma_{cm} - \gamma_v}{\gamma_t - \gamma_v},$$

где γ_t , кГ/м³; γ_v , кГ/м³ — удельные веса материала частиц взвеси и воды;

расходный удельный вес гидросмеси γ_p , кГ/м³ — вес гидросмеси, протекающей в единицу времени через поперечное сечение трубы G_{cm} , деленный на объемный расход гидросмеси Q_{cm} :

$$\gamma_p = \frac{G_{cm}}{Q_{cm}}, \text{ кГ/м}^3.$$

расходная объемная консистенция гидросмеси c_p (величина безразмерная) — отношение объемного расхода твердого материала Q_t к объемному расходу гидросмеси Q_{cm} :

$$c_p = \frac{Q_t}{Q_{cm}}.$$

1.5. Величина расходной объемной консистенции определяется по действительной объемной консистенции при различных v/v_{kp} по табл. 1.

1.6. Консистенцию гидросмеси разрешается выражать отношением веса движущегося грунта в объеме между двумя поперечными сечениями трубы к весу воды P_v в этом объеме:

$$c_s = \frac{P_t}{P_v} = \frac{\gamma_t}{\gamma_v} \frac{\gamma_{cm} - \gamma_v}{\gamma_t - \gamma_{cm}}.$$

Консистенция гидросмеси выражается также отношением объема движущегося грунта (взятого в естественном сложении с порами между частицами) между двумя поперечными сечениями трубы к объему гидросмеси между этими поперечными сечениями трубы:

| c_0 | c_p | | | | |
|-------|--------------------------|---------------------------|--------------------------|--------------------------|--------------------------|
| | $\frac{v}{v_{kp}} = 1,0$ | $\frac{v}{v_{kp}} = 1,20$ | $\frac{v}{v_{kp}} = 1,5$ | $\frac{v}{v_{kp}} = 2,0$ | $\frac{v}{v_{kp}} = 2,5$ |
| 0,02 | 0,012 | 0,012 | 0,012 | 0,012 | 0,012 |
| 0,04 | 0,022 | 0,023 | 0,024 | 0,025 | 0,026 |
| 0,06 | 0,036 | 0,037 | 0,039 | 0,042 | 0,045 |
| 0,08 | 0,051 | 0,053 | 0,057 | 0,061 | 0,065 |
| 0,10 | 0,068 | 0,072 | 0,076 | 0,082 | 0,086 |
| 0,12 | 0,087 | 0,091 | 0,097 | 0,103 | 0,107 |
| 0,14 | 0,107 | 0,112 | 0,118 | 0,124 | 0,128 |
| 0,16 | 0,128 | 0,134 | 0,139 | 0,146 | 0,150 |
| 0,18 | 0,150 | 0,155 | 0,161 | 0,167 | 0,171 |
| 0,20 | 0,171 | 0,177 | 0,183 | 0,189 | 0,192 |

Примечание. При расчете расходной объемной консистенции в режиме гидротранспорта с неподвижным слоем отложений рекомендуется принимать $v : v_{kp} = 1$.

$$c_0' = c_0 \frac{\gamma_t}{\gamma_{t,p}} = \frac{c_0}{1-m},$$

где $\gamma_{t,p}$ — объемный вес грунта в естественном сложении; m — пористость грунта в естественном сложении (в долях единицы).

График зависимости между величинами консистенций c_0 , c_s , c_0' изображен на рис. 1.

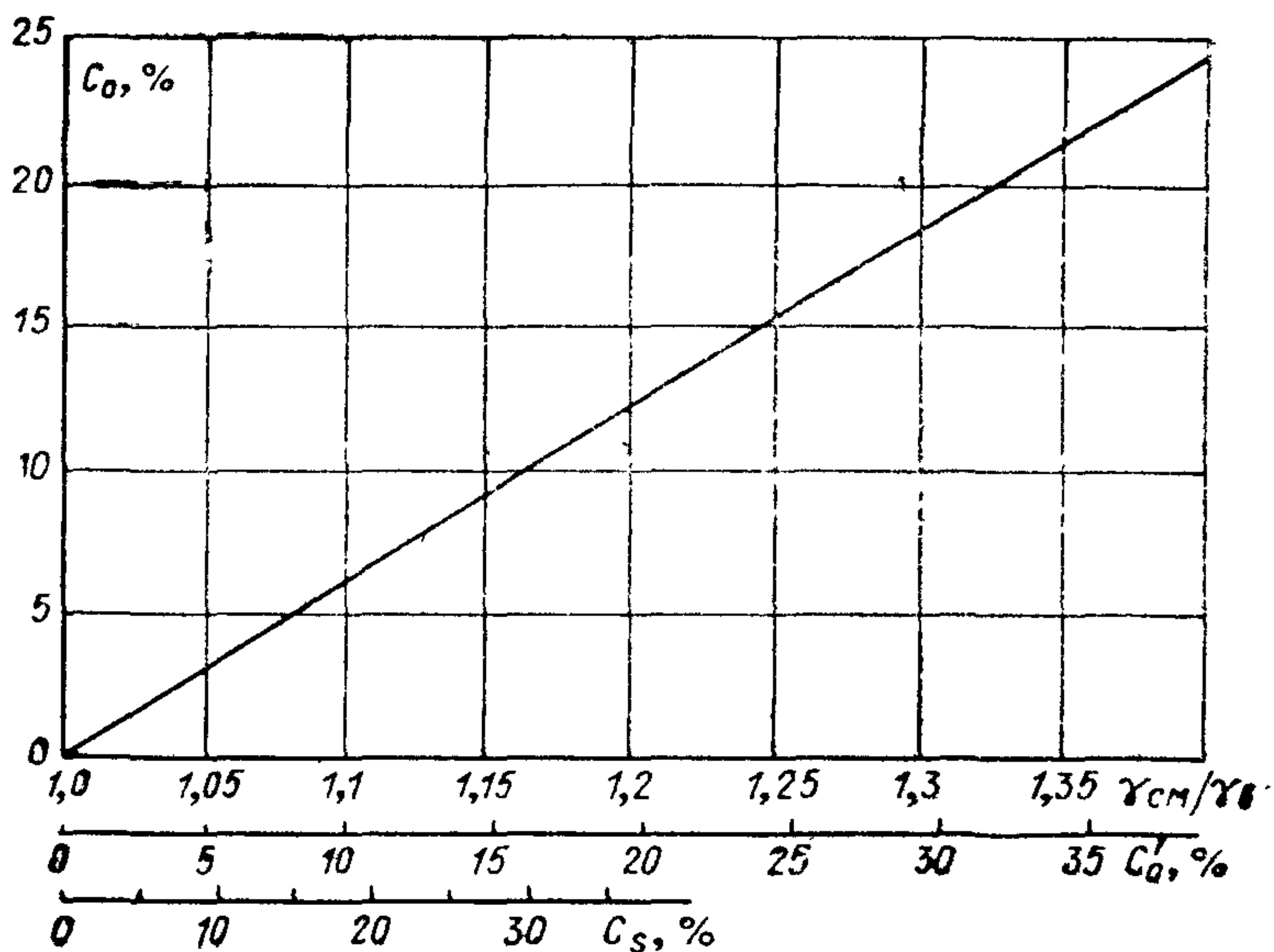


Рис. 1. График зависимости консистенции от удельного веса гидросмеси.

2. ХАРАКТЕРИСТИКА ГРАНУЛОМЕТРИЧЕСКОГО СОСТАВА ГРУНТА

2.1. Результаты гранулометрического анализа грунта рекомендуется изображать на полулогарифмической сетке в виде кривой гранулометрического состава, а также в виде гистограммы и кривой распределения (рис. 2). По характеру гистограммы или кривой распределения гранулометрического состава все песчаные, гравийные и галечниковые грунты, а также материалы, образовавшиеся в результате механического дробления крупнообломочных пород, разделяются с достаточным приближением на две группы: однодальные грунты и двухмодальные грунты.

Для однодальных грунтов распределение фракций по крупности в составе может быть принято близким к логарифмически нормальному закону распределения случайных величин. Двухмодальные грунты можно представить как смесь двух однодальных грунтов при различном их содержании в составе.

2.2. В качестве расчетной крупности грунта следует принимать средневзвешенную крупность d_0 , мм:

$$d_0 = \frac{\sum d_i p_i}{100}, \text{ мм},$$

где d_i — среднеарифметическое значение крупности i -ой стандартной фракции, мм; p — процентное содержание i -ой фракции по весу в составе пробы грунта.

2.3. Способность грунта транспортироваться потоком воды следует характеризовать коэффициентом ψ , являющимся функцией гидравлической крупности частицы грунта. Величины ψ для стандартных фракций грунта приведены в табл. 2.

Таблица 2

| Фракция грунта, мм | 0,05÷ ÷0,10 | 0,10÷ ÷0,25 | 0,25÷ ÷0,50 | 0,50÷ ÷1,0 | 1,0÷ ÷2,00 | 2÷3 | 3÷5 | 5÷10 | >10 |
|--------------------|----------------|----------------|----------------|---------------|---------------|-----|-----|------|-----|
| ψ | 0,02 | 0,20 | 0,40 | 0,80 | 1,2 | 1,5 | 1,8 | 1,9 | 2,0 |

Для многофракционного грунта вычисляется средневзвешенное значение этого коэффициента

$$\psi_{ср} = \frac{\sum \psi_i p_i}{100},$$

где ψ_i — средняя величина для i -ой стандартной фракции; p_i — процентное содержание i -ой фракции по весу в составе пробы грунта.

2.4. Если в одномодальном грунте содержится не более 10% сравнительно крупных фракций, то при определении d_0 и $\psi_{ср}$ наличие их в составе грунта рекомендуется не учитывать; например, при определении d_0 и $\psi_{ср}$ мелкого песчаного грунта можно не учитывать фракции крупнее 2 мм, если их содержится менее 10%.

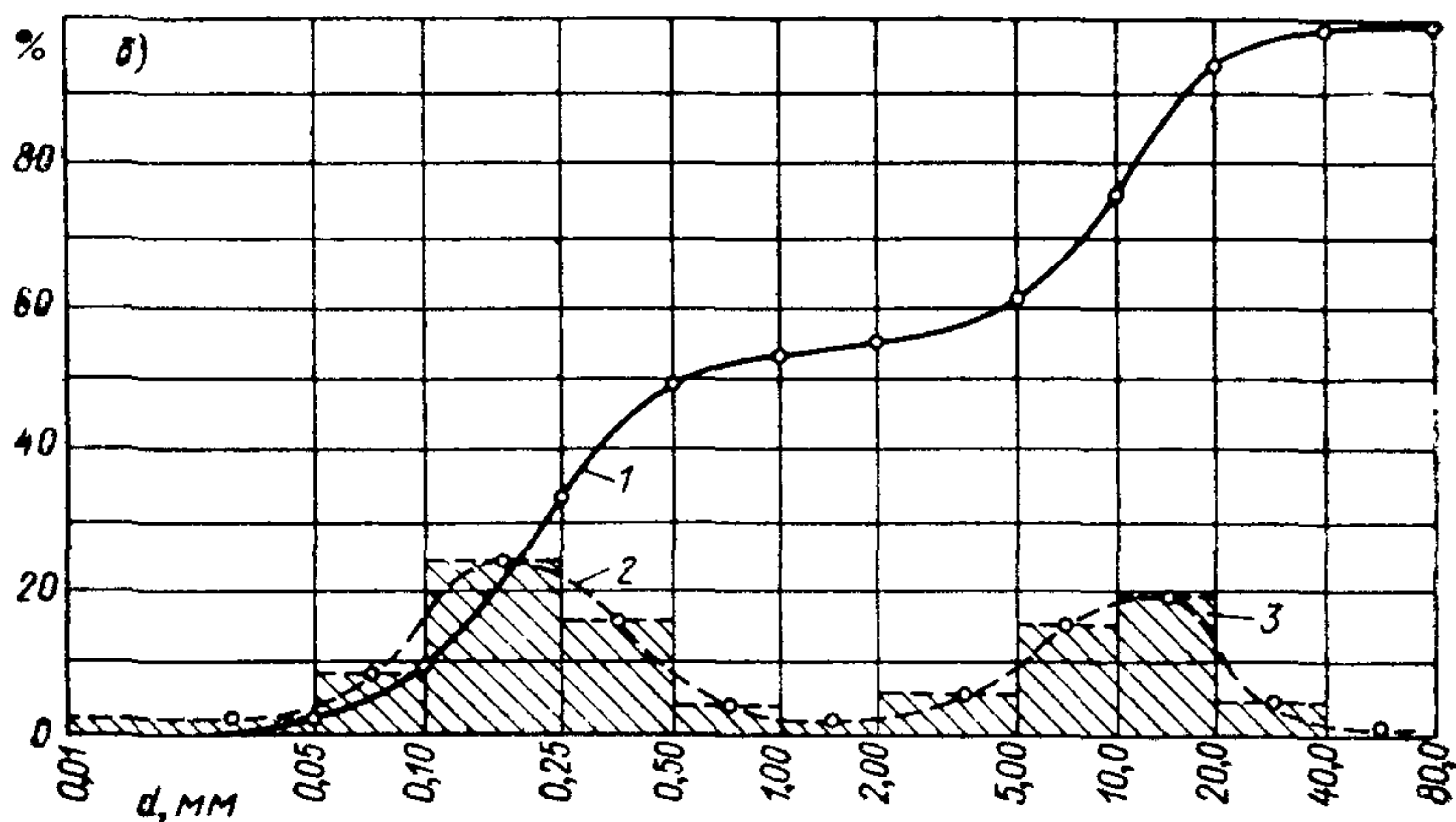
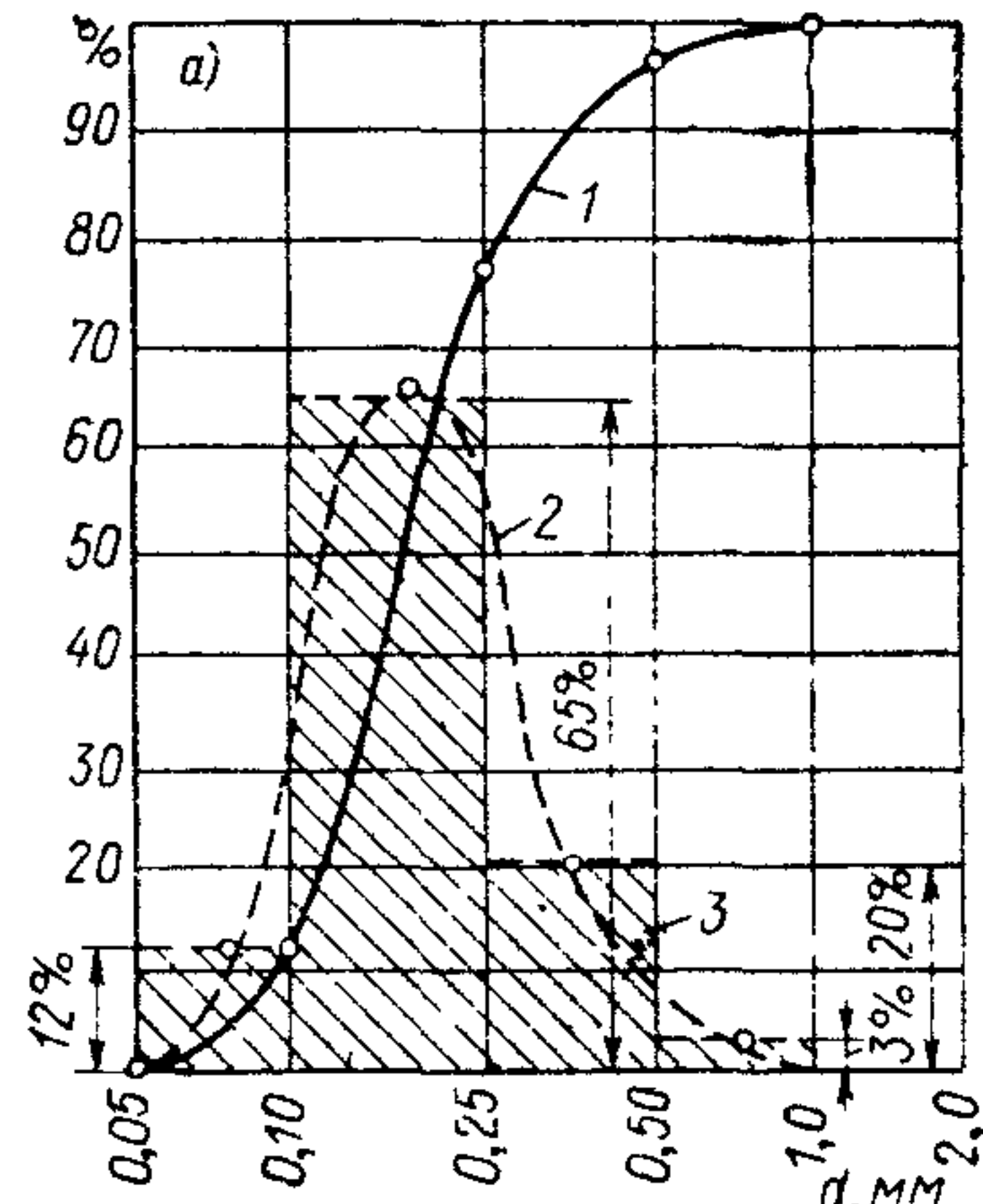


Рис. 2.

а) одномодальный грунт: 1—кривая гранулометрического состава; 2—кривая распределения; 3—гистограмма; б) двухмодальный грунт: 1—кривая гранулометрического состава, 2—кривая распределения, 3—гистограмма.

2.5 Разнозернистость грунта определяется коэффициентом разнозернистости:

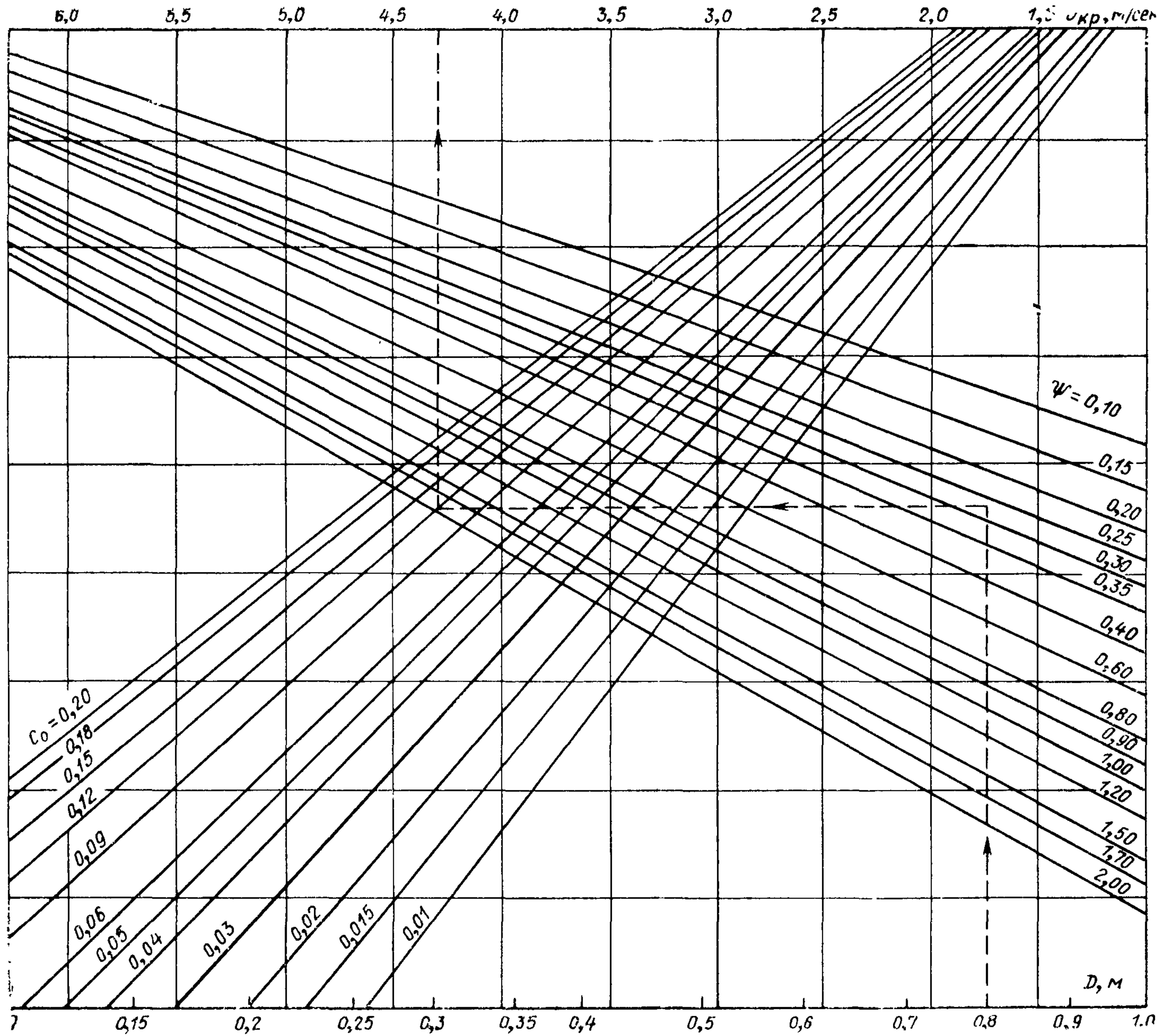


Рис. 3. Номограмма для расчета v_{kp} по формуле $v_{kp} = 8,3 \sqrt[3]{D} \sqrt[6]{\Psi_{cp} c_0}$

$$j = \frac{3d_{10}}{d_{90}},$$

где d_{10} и d_{90} — крупности частиц грунта, меньше которых в составе содержится соответственно 10 и 90%; d_{10} и d_{90} определяются по кривой гранулометрического состава грунта

2.6. Если транспортируемый грунт представляет смесь двух грунтов и кривая распределения фракций по крупности является двухмодальной, то разнозернистость j_{cp} определяется как средневзвешенная величина разнозернистости каждого грунта в отдельности, т. е.:

$$j_{cp} = \frac{j_1 p_1 + j_2 p_2}{p_1 + p_2},$$

где p_1 и p_2 — процентное содержание каждой составляющей грунта по весу в составе пробы грунта, j_1 и j_2 — коэффициенты разнозернистости каждой составляющей грунта.

2.7. Расчеты гидротранспортных систем выполняются по осредненному (средневзвешенному) гранулометрическому составу грунтового массива: карьера, штабеля и т. п. В случаях, когда в грунтовом массиве содержатся разновидности грунта, гранулометрический состав которых существенно отличается от осредненного, рекомендуется выполнять поверочный расчет за проектированной системы на транспортирование указанных разновидностей грунта.

3. ГИДРАВЛИЧЕСКИЙ РАСЧЕТ НАПОРНЫХ ТРУБОПРОВОДОВ

A. Расчет критической скорости движения гидросмеси

3.1. Критическая скорость движения гидросмеси определяется по формуле:

$$v_{kp} = 8,3 \sqrt[3]{D} \sqrt[6]{c_0 \phi_{cp}}, \text{ м/сек}, \quad (1)$$

где D — диаметр трубопровода, м. Критическую скорость можно определять также по nomogramme рис. 3

3.2. Расход гидросмеси при критической скорости транспортирования, определяется по формуле

$$Q_{cm,kp} = \frac{\pi D^2}{4} v_{kp}. \quad (2)$$

3.3. Высота неподвижного слоя отложения грунта ΔH_3 в горизонтальном трубопроводе при $Q_{cm} < Q_{cm,kp}$ определяется по формуле:

$$\Delta H_3 = 0,4 D \sqrt[3]{\frac{Q_{cm,kp}}{Q_{cm}}} - 1 \cdot \text{м.} \quad (3)$$

3.4. Диаметр трубопровода гидротранспортной системы рекомендуется подбирать с учетом обеспечения режима работы системы без засорения. Работа системы в режиме засорения должна быть обоснована технико-экономическим расчетом

B. Расчет удельных потерь напора на трение

3.5. Удельные потери напора при гидравлическом транспорте грунта в горизонтальных напорных трубопроводах определяются по формуле

$$I_{cm} = I_b + \Delta I, \quad (4)$$

где I_{cm} и I_b — удельные потери напора при движении в одном и том же трубопроводе, соответственно, гидросмеси и чистой воды (без транспортируе-

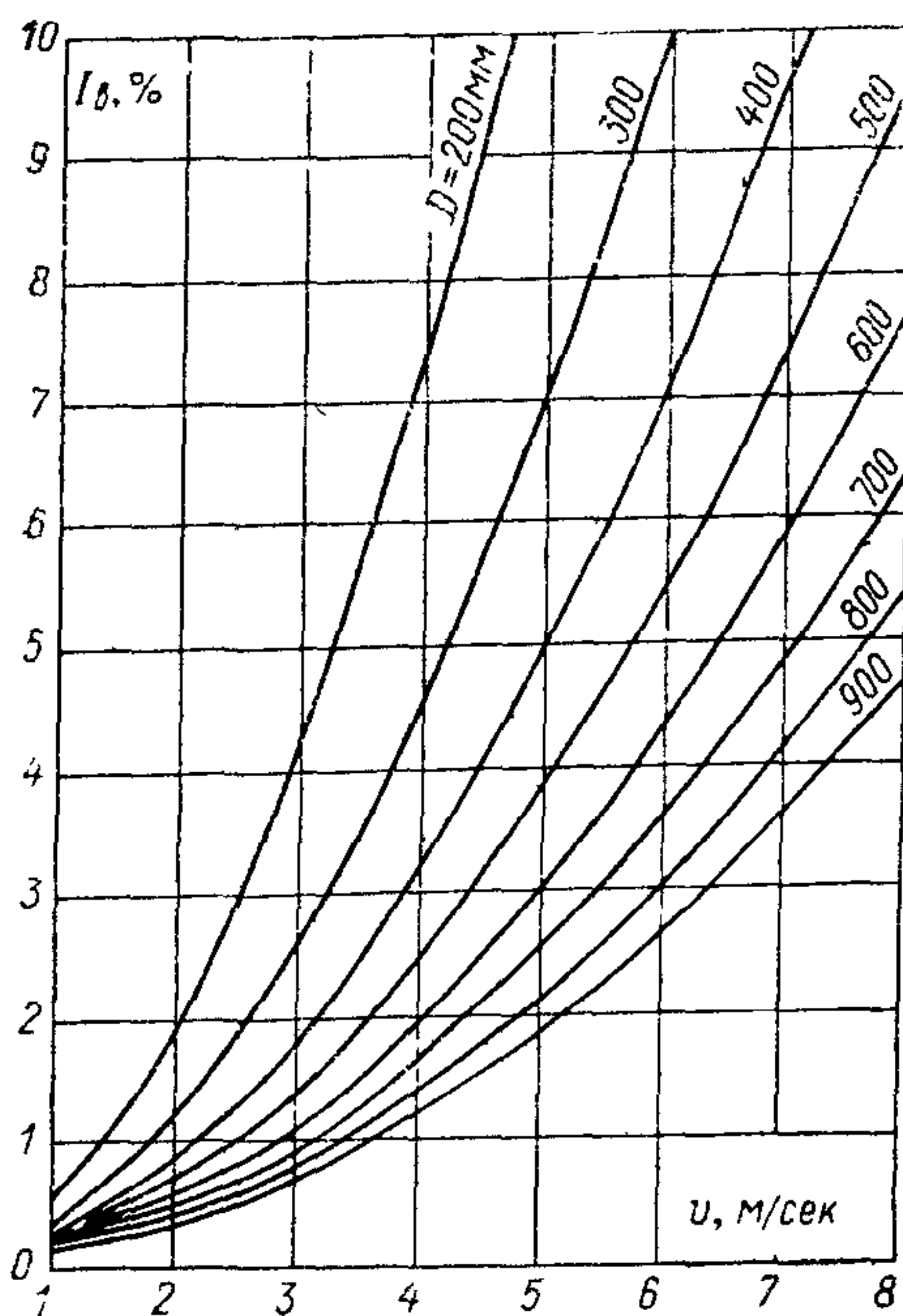
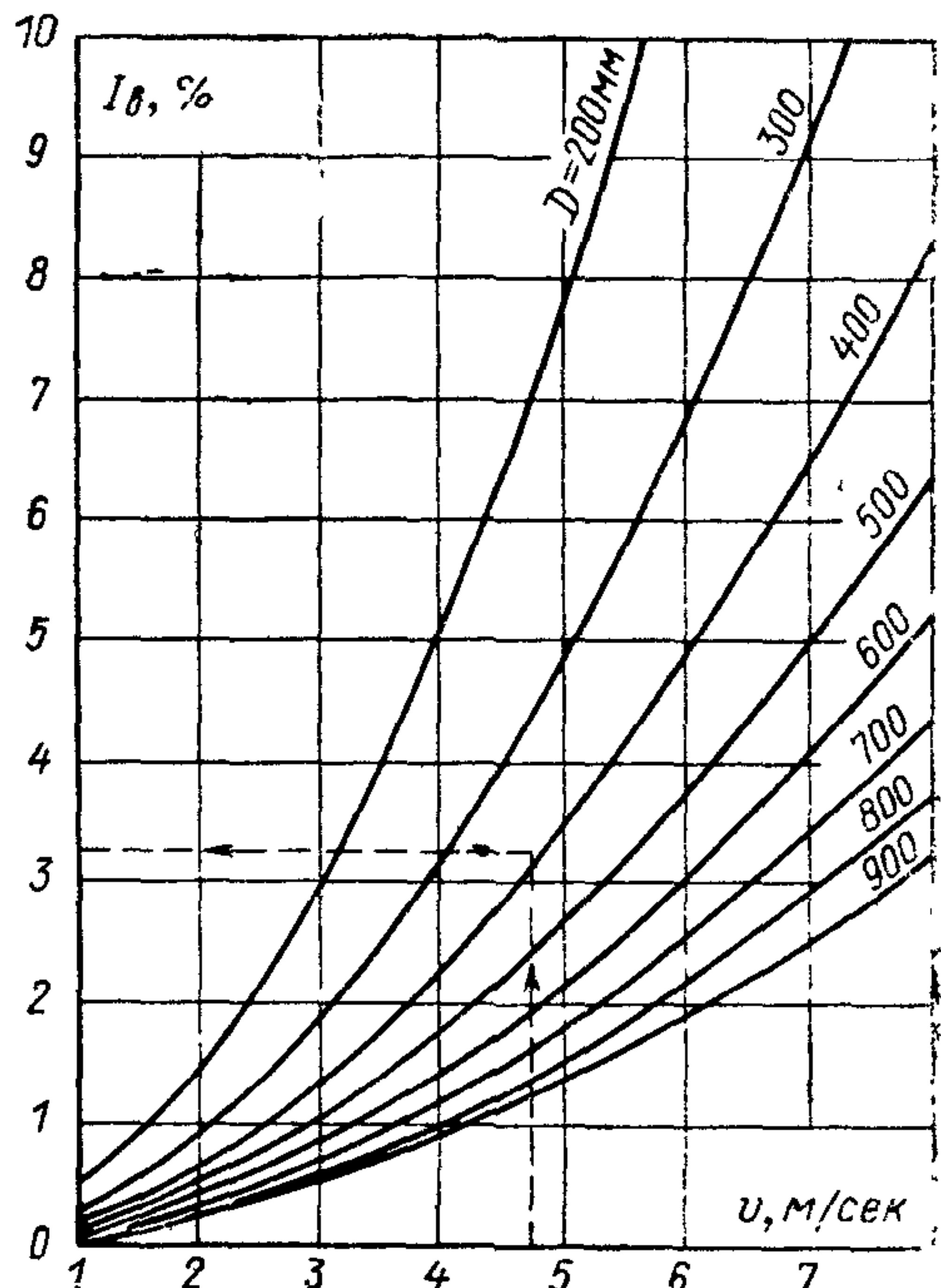
мой взвеси) при одинаковых объемных расходах; ΔI — дополнительные (по сравнению с I_b) удельные потери напора, обусловленные наличием твердых частиц в потоке гидросмеси.

Примечания. 1. При режиме заилиения значения I_b принимаются равными удельным потерям напора при движении чистой воды со скоростью $v_{кр}$.

2. Определение I_b можно производить.

а) с помощью графика рис. 4 — для новых стальных трубопроводов или стальных трубопроводов, ранее использовавшихся только для гидравлического транспорта;

Рис. 4. График для определения удельных потерь напора на трение при движении воды в трубопроводах из новых стальных труб.



б) с помощью графика рис. 5 — для стальных труб, эксплуатировавшихся ранее как водопроводные, или для труб с корродированной внутренней поверхностью.

3.6. Удельные потери напора в трубопроводе при движении чистой воды определяются по формуле

$$I_b = \lambda_b \frac{v^2}{2gD}, \quad (5)$$

где λ_b — коэффициент гидравлического трения трубопровода; g — ускорение силы тяжести $9,81 \text{ м/сек}^2$.

3.7. Коэффициент гидравлического трения для новых стальных трубопроводов или стальных трубопроводов, ра-

Рис. 5. График для определения удельных потерь напора на трение при движении воды в трубопроводах из стальных корродированных труб.

нее использовавшихся только для гидравлического транспорта, вычисляется по формуле

$$\lambda_s = \frac{0,31}{(\lg Re - 1)^2}, \quad (6)$$

где $Re = \frac{vD}{\nu}$, ν — кинематический коэффициент вязкости воды, $m^2/\text{сек}$; при температуре воды 20° $\nu = 1 \cdot 10^{-6} m^2/\text{сек}$.

В случае использования для гидравлического транспорта стальных труб, эксплуатировавшихся ранее как водопроводные, или труб с корродированной внутренней поверхностью, коэффициент λ_s рекомендуется вычислять по формуле

$$\lambda_s = 0,24 \left[\frac{1,9 \cdot 10^{-6}}{D} + \frac{1}{Re} \right]^{0,226}, \quad (7)$$

где D выражается в m .

Вычисленные по формулам (6), (7) величины коэффициентов сопротивления $100\lambda_s$ в диапазоне скоростей $1,0$ — $8,0 m/\text{сек}$ для стандартных диаметров труб приведены в табл. 3.

Таблица 3

| $v, m/\text{сек}$ | Диаметры труб D, m | | | | | | | | |
|--|----------------------|------|------|------|------|------|------|------|------|
| | 0,10 | 0,20 | 0,30 | 0,40 | 0,50 | 0,60 | 0,70 | 0,80 | 0,90 |
| Гидравлически гладкие трубы проводы | | | | | | | | | |
| 1,0 | 1,93 | 1,66 | 1,54 | 1,45 | 1,40 | 1,35 | 1,32 | 1,30 | 1,25 |
| 1,5 | 1,66 | 1,54 | 1,43 | 1,35 | 1,30 | 1,29 | 1,23 | 1,20 | 1,17 |
| 2,0 | 1,68 | 1,46 | 1,35 | 1,29 | 1,24 | 1,19 | 1,16 | 1,14 | 1,12 |
| 2,5 | 1,60 | 1,40 | 1,30 | 1,23 | 1,19 | 1,15 | 1,12 | 1,10 | 1,08 |
| 3,0 | 1,54 | 1,35 | 1,26 | 1,19 | 1,15 | 1,12 | 1,09 | 1,07 | 1,05 |
| 3,5 | 1,51 | 1,32 | 1,23 | 1,16 | 1,12 | 1,09 | 1,06 | 1,04 | 1,02 |
| 4,0 | 1,47 | 1,29 | 1,19 | 1,14 | 1,10 | 1,07 | 1,04 | 1,02 | 1,00 |
| 4,5 | 1,43 | 1,26 | 1,17 | 1,11 | 1,08 | 1,04 | 1,02 | 1,00 | 0,98 |
| 5,0 | 1,40 | 1,23 | 1,15 | 1,10 | 1,06 | 1,03 | 1,00 | 0,98 | 0,97 |
| 5,5 | 1,37 | 1,21 | 1,13 | 1,08 | 1,04 | 1,02 | 0,99 | 0,97 | 0,95 |
| 6,0 | 1,35 | 1,20 | 1,12 | 1,07 | 1,03 | 1,00 | 0,98 | 0,96 | 0,94 |
| 8,0 | 1,29 | 1,14 | 1,07 | 1,02 | 0,98 | 0,96 | 0,94 | 0,92 | 0,90 |
| Трубы проводы шероховатые (с корродированной поверхностью) | | | | | | | | | |
| 1,0 | 2,27 | 1,93 | 1,77 | 1,66 | 1,58 | 1,51 | 1,46 | 1,42 | 1,38 |
| 1,5 | 2,20 | 1,88 | 1,72 | 1,61 | 1,53 | 1,47 | 1,42 | 1,38 | 1,34 |
| 2,0 | 2,17 | 1,85 | 1,70 | 1,59 | 1,51 | 1,45 | 1,40 | 1,36 | 1,32 |
| 2,5 | 2,15 | 1,83 | 1,68 | 1,57 | 1,49 | 1,44 | 1,39 | 1,34 | 1,31 |
| 3,0 | 2,14 | 1,82 | 1,67 | 1,56 | 1,48 | 1,43 | 1,38 | 1,34 | 1,30 |
| 3,5 | 2,13 | 1,81 | 1,66 | 1,55 | 1,48 | 1,42 | 1,37 | 1,33 | 1,20 |
| 4,0 | 2,12 | 1,80 | 1,65 | 1,55 | 1,47 | 1,41 | 1,37 | 1,32 | 1,29 |
| 4,5 | 2,11 | 1,80 | 1,65 | 1,54 | 1,47 | 1,41 | 1,36 | 1,32 | 1,28 |
| 5,0 | 2,11 | 1,79 | 1,64 | 1,54 | 1,46 | 1,41 | 1,36 | 1,32 | 1,28 |
| 5,5 | 2,10 | 1,79 | 1,64 | 1,54 | 1,46 | 1,40 | 1,36 | 1,31 | 1,28 |
| 6,0 | 2,10 | 1,79 | 1,64 | 1,53 | 1,46 | 1,40 | 1,36 | 1,31 | 1,28 |
| 8,0 | 2,10 | 1,79 | 1,63 | 1,53 | 1,46 | 1,40 | 1,35 | 1,31 | 1,28 |

3.8. Расчет дополнительных удельных потерь напора производится по формуле

$$\Delta I = \delta \sqrt{j} \sqrt[3]{c_0^2} \frac{Q_{\text{см.кр}}}{Q_{\text{см}}}, \quad (8)$$

где δ — коэффициент, учитывающий влияние относительной крупности частиц грунта $d_0:D$ и определяемый по табл. 4.

Таблица 4

| $100 \frac{d_0}{D}$ | Диаметр труб $D, м$ | | | | | | |
|---------------------|---------------------|-------|-------|-------|-------|-------|-------|
| | 0,10—0,35 | 0,40 | 0,50 | 0,60 | 0,70 | 0,80 | 0,90 |
| 0,05 | 0,050 | 0,051 | 0,052 | 0,053 | 0,054 | 0,055 | 0,056 |
| 0,10 | 0,090 | 0,100 | 0,110 | 0,125 | 0,140 | 0,150 | 0,160 |
| 0,15 | 0,120 | 0,130 | 0,155 | 0,180 | 0,210 | 0,230 | 0,250 |
| 0,20 | 0,140 | 0,170 | 0,205 | 0,240 | 0,270 | 0,300 | 0,330 |
| 0,30 | 0,180 | 0,210 | 0,260 | 0,300 | 0,340 | 0,375 | 0,410 |
| 0,4 | 0,215 | 0,275 | 0,325 | 0,370 | 0,400 | 0,435 | 0,475 |
| 0,5 | 0,230 | 0,305 | 0,360 | 0,405 | 0,440 | 0,475 | 0,505 |
| 0,6 | 0,240 | 0,330 | 0,380 | 0,430 | 0,470 | 0,505 | 0,535 |
| 0,7 | 0,247 | 0,350 | 0,400 | 0,450 | 0,490 | 0,530 | 0,560 |
| 0,8 | 0,250 | 0,365 | 0,410 | 0,465 | 0,510 | 0,545 | 0,580 |
| 0,9 | 0,255 | 0,375 | 0,420 | 0,480 | 0,530 | 0,565 | 0,605 |
| 1,0 | 0,260 | 0,385 | 0,430 | 0,490 | 0,540 | 0,580 | 0,615 |
| 1,5 | 0,270 | 0,402 | 0,460 | 0,530 | 0,580 | 0,630 | 0,665 |
| 2,0 | 0,280 | 0,415 | 0,470 | 0,550 | 0,595 | 0,650 | 0,690 |
| 2,5 | 0,285 | 0,425 | 0,480 | 0,565 | 0,605 | 0,665 | 0,705 |
| 3,0 | 0,290 | 0,430 | 0,490 | 0,575 | 0,620 | 0,675 | 0,715 |
| 3,5 | 0,295 | 0,435 | 0,500 | 0,585 | 0,630 | 0,680 | 0,725 |
| 4,0 | 0,300 | 0,450 | 0,510 | 0,595 | 0,635 | 0,685 | 0,730 |
| 4,5 | 0,300 | 0,450 | 0,520 | 0,600 | 0,640 | 0,690 | 0,735 |
| 5,0 | 0,300 | 0,450 | 0,530 | 0,600 | 0,640 | 0,690 | 0,735 |

При $100 \frac{d_0}{D} < 0,05$ коэффициент $\delta = 100 \frac{d_0}{D}$.

В. Расчет местных гидравлических сопротивлений

3.9. Суммарные потери напора h_3 м вод. ст. (местные и на трение) при движении гидросмеси в напорных трубопроводах в пределах корпуса земснаряда определяются по формуле

$$h_3 = \zeta_3 \frac{v^2}{2g}, \quad (9)$$

где ζ_3 — коэффициент гидравлических сопротивлений, зависящий от консистенции гидросмеси и определяемый по табл. 5.

3.10. Удельные суммарные (местные и на трение) потери напора $I_{\text{см.п}}$ в плавучем трубопроводе с полноповоротными шарнирными сочленениями вычисляются по формуле

$$I_{\text{см.п}} = \beta I_{\text{см}}, \quad (10)$$

Таблица 5

| Марка земснаряда | Консистенция гидросмеси | | |
|------------------|-------------------------|------------|------------|
| | $c_0=0,05$ | $c_0=0,10$ | $c_0=0,15$ |
| 1000-80 | 0,90 | 1,05 | 1,20 |
| 500-60 | 1,30 | 1,45 | 1,70 |
| 300-40 | 1,65 | 1,90 | 2,20 |

Примечание. Коэффициент ζ_3 для консистенций $c_0 > 0,15$ определяется экстраполяцией.

где β — коэффициент, зависящий от угла между сочленениями трубопровода и изменяющийся от 1,2 до 2,8, в расчетах рекомендуется принимать $\beta=2,0$

3.11 Потери напора в отводах трубопровода при гидравлическом транспорте h_m м вод. ст. следует определять по формуле

$$h_m = \zeta_m \frac{v^2}{2g} \frac{\gamma_{cm}}{\gamma_b}, \quad (11)$$

где ζ_m — коэффициент местных гидравлических сопротивлений в отводах, определяемый по табл. 6

Таблица 6

| Плавное закругление оси | | | | | | | | | Резкий поворот оси | |
|-------------------------|------|------|-------------------|------|------|-------------------|------|------|--------------------|-------------------|
| $\alpha=90^\circ$ | | | $\alpha=60^\circ$ | | | $\alpha=30^\circ$ | | | $\alpha=60^\circ$ | $\alpha=30^\circ$ |
| $\frac{R}{D}$ | 1,5 | 3,0 | 1 | 1,5 | 3,0 | 1 | 1,5 | 3,0 | | |
| 0,45 | 0,40 | 0,24 | 0,30 | 0,20 | 0,16 | 0,10 | 0,07 | 0,05 | 0,50 | 0,16 |

П р и м е ч а н и е. R — радиус закругления оси отвода, D — диаметр отвода.

3.12 Удельные потери напора $I_{cm\alpha}$ на трение в наклоненных к горизонту трубопроводах вычисляются по формуле

$$I_{cm\alpha} = I_b + (I_{cm} - I_b) \cos \alpha, \quad (12)$$

где α — угол наклона оси трубопровода к горизонту

П р и м е ч а н и е Расчет потерь напора в наклоненных к горизонту участках трубопровода по формуле (12) выполняется только тогда, когда длина этих участков превышает 10% общей длины трубопровода и угол наклона составит более 25° .

3.13 Удельные суммарные (местные и на трение) потери напора I_{cm} в разводящих на карте намыва трубопроводах, монтируемых на быстро-разъемных соединениях, рекомендуется вычислять по формуле

$$I_{cm\text{p}} = 1,5 I_{cm}. \quad (13)$$

Г. Расчет суммарных потерь напора в трубопроводах при гидравлическом транспорте

3.14. При работе земснаряда общие потери напора складываются из потерь напора во внутренних трубопроводах и арматуре, в плавучем трубопроводе, в магистральном трубопроводе, за счет местных сопротивлений, потеря напора на преодоление геодезического подъема по трассе трубопровода, а также, обычно пренебрегаемых, потеря напора на кинетическую энергию при выбросе гидросмеси из трубы. Суммарные потери напора выражаются формулой

$$H = k [h_3 + h_m + I_{cm\text{p}} l_p + I_{cm\alpha} l_\alpha + I_{cm} l + I_{cm\text{p}} l_p] + h_r, \quad (14)$$

$k = 1,15$, рекомендуемый коэффициент „запаса“; l_p , l_α , l , l_p — длины плавучего, наклоненного, магистрального и разводящего трубопроводов; h_3 — потери напора в напорном трубопроводе в пределах земснаряда; h_m — потери напора в местных сопротивлениях; h_r — потери напора на преодоление геодезического подъема.

Величина h_r м вод. ст. вычисляется по формуле

$$h_r = \pm \Delta z \frac{\gamma_{cm}}{\gamma_b}, \quad (15)$$

здесь Δz — разность геодезических отметок оси грунтового насоса и оси трубопровода в месте выпуска гидросмеси, м. Знак (+) берется в случае подъема трубопровода, знак (-) в случае понижения.

3.15 Потери напора за счет всех местных сопротивлений в расчетах на стадии проектного задания разрешается принимать в размере 10% от потерь напора на трение.

3.16 Потери напора во всасывающем трубопроводе определяются особенностями конструкции грунтозаборного устройства земснаряда. Потерями напора на геодезический подъем гидросмеси во всасывающей трубе можно пренебрегать.

4. ПЕРЕСЧЕТ РАБОЧИХ ХАРАКТЕРИСТИК ГРУНТОВЫХ НАСОСОВ С ВОДЫ НА ГИДРОСМЕСЬ

4.1. Расчеты гидравлической системы выполняются с помощью расходно-напорной ($Q - H$) и расходно-мощностной ($Q - N$) характеристик грунтовых насосов при работе на гидросмесях различной консистенции и разной степени износа рабочего колеса насоса.

4.2. Характеристики грунтовых насосов определяются специальными испытаниями на воде и приведены в «Альбоме оборудования для гидромеханизации» (Том 1, Грунтовые насосы и землесосы, Информэнерго, Москва, 1970 г.). При работе на гидросмеси характеристики насоса изменяются в зависимости от консистенции и гранулометрического состава грунта. Кроме того, характеристика насоса изменяется во времени вследствие абразивного износа рабочего колеса.

4.3. Определение напора, создаваемого новым грунтовым насосом при работе на гидросмеси, производится по формуле:

$$H_{\text{см}} = k_0 H_{\text{в}} \left[1 + \frac{c_0^{1,2}}{\sqrt{\psi}} \right], \quad (16)$$

где $H_{\text{в}}$ — напор, развиваемый новым насосом при работе на воде; k_0 — безразмерный коэффициент, принимаемый равным единице для грунтовых насосов всех типов кроме 20Р-11 и 500-60.

Для грунтовых насосов типа 20Р-11 и 500-60 коэффициент k_0 принимается

при $Q_{\text{см}} \leq Q_0 \quad k_0 = 1,0,$

$$\text{при } Q_{\text{см}} > Q_0 \quad k = 1 + 25c_0 \lg \frac{Q_0}{Q_{\text{см}}}, \quad (17)$$

где $Q_0 = 0,8Q_{\text{см. макс}}$; $Q_{\text{см. макс}}$ — максимальный расход нового грунтового насоса при работе на гидросмеси;

$$Q_{\text{см. макс}} = Q_{\text{в. макс}} [1 - 1,65c_0]; \quad (18)$$

$Q_{\text{в. макс}}$ — максимальный расход при работе насоса на воде принимается равным

для насоса типа 20Р-11 $4800 \text{ м}^3/\text{ч};$

для насоса типа 500-60 $10500 \text{ м}^3/\text{ч}.$

Для прочих насосов $Q_{\text{в. макс}}$ принимается по рабочим характеристикам.

4.3. При пересчете рабочих характеристик частично или полностью изношенного грунтового насоса в формулу (16) вместо $H_{\text{в}}$ следует подставлять

$$H_{\text{в. из}} = H_{\text{в}} [1 - a_1 q q^5], \quad (19)$$

а вместо $Q_{\text{в. макс}}$

$$Q_{\text{в. макс из}} = Q_{\text{в. макс}} [1 - a_2 q q^5], \quad (20)$$

где a_1 и a_2 — опытные коэффициенты (табл. 7); q — доля перекаченного насосом грунта от общего нормативного количества грунта, определяющего срок службы рабочего колеса

Таблица 7

| Наименование грунтов | a_1 | a_2 |
|----------------------|-------|-------|
| Песчаный . . | 0,15 | 0,30 |
| Гравийный . . | 0,10 | 0,14 |

Примечания. 1. Количество перекаченного насосом грунта, определяющее срок службы (ресурс работы) рабочего колеса, рекомендуется принимать по статистическим данным производственных предприятий

2 Приведенные формулы не рекомендуется применять для расчета работы грунтовых насосов, реставрированных с помощью электросварки в производственных условиях

4.4. Пересчет коэффициента полезного действия грунтового насоса при работе на гидросмеси осуществляется по формуле

$$\eta_{\text{см}} = \eta_{\text{в}} (1 - 0,33c_0), \quad (21)$$

где $\eta_{\text{см}}$ — к. п. д. грунтового насоса при работе на гидросмеси консистенции c_0 ; $\eta_{\text{в}}$ — к. п. д. грунтового насоса при работе на воде (принимается по соответствующей характеристике насоса в «Альбоме оборудования для гидромеханизации»).

4.5 Пересчет мощности на валу при работе на гидросмеси выполняется по формуле

$$N_{\text{см}} = N_{\text{в}} \frac{H_{\text{см}}}{H_{\text{в}}} \frac{\eta_{\text{в}}}{\eta_{\text{см}}}, \quad (22)$$

где $N_{\text{в}}$ и $N_{\text{см}}$ — мощность грунтового насоса на валу при работе на воде и на гидросмеси.

Примечание. К. п. д. для изношенного насоса принимается как для нового насоса по формуле (21).

5. ОПРЕДЕЛЕНИЕ НАИВЫГОДНЕЙШЕГО РЕЖИМА РАБОТЫ ГИДРОТРАНСПОРТНОЙ СИСТЕМЫ

A. Расчет наивыгоднейшего режима работы гидротранспортной системы по рабочим характеристикам насоса и трубопровода

5.1. Расчетом совместной работы грунтового насоса и трубопровода определяются энергетически наивыгоднейшие для данной гидротранспортной системы консистенции и расходы гидросмеси, т. е. такие, при которых затраты энергии на транспортирование единицы объема грунта (удельные затраты энергии) будут наименьшими. Одновременно должно быть выдержано условие устойчивой работы системы без опасности закупорки трубопровода.

Примечание В дальнейшем, под словом «наивыгоднейший» следует понимать «энергетически наивыгоднейший».

5.2. Совместная работа грунтового насоса и трубопровода возможна при режимах, когда их расходно-напорные ($Q - H$) характеристики пересекаются (рис. 6).

Примечания. 1. Пересчет ($Q - H$) характеристики грунтового насоса с воды на гидросмесь выполняется по формулам раздела 4.

2 ($Q - H$) характеристика трубопровода на воде и гидросмеси строится для принятых диаметра и длины трубопровода с учетом геодезического подъема по формулам (1) — (15).

3. В качестве расчетной рекомендуется принимать характеристики средние между характеристиками нового и изношенного насосов.

5.3. По точкам пересечения ($Q - H$) характеристик насоса и трубопровода определяют расход, который может подать насос в данный трубопровод, уложенный по проектируемой трассе, при той или иной консистенции гидросмеси. Консистенция гидросмеси, определяемая точкой касания ($Q - H$) характеристик (точка e на рис. 6), является предельной, при ко-

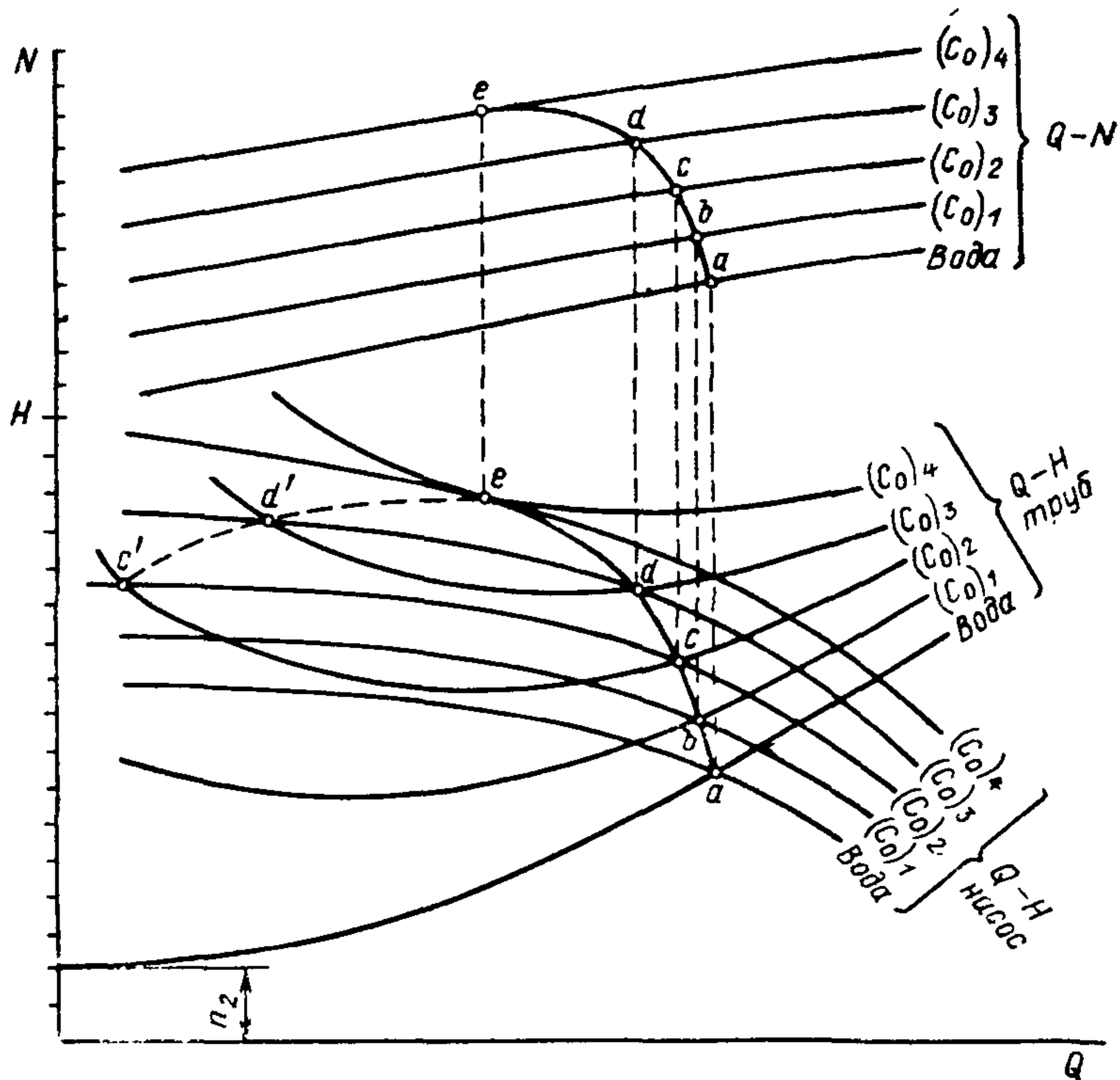


Рис. 6. Расходно-напорные характеристики насоса и трубопровода.

торой возможна работа грунтового насоса в данных условиях гидравлического транспорта (левее точки e все режимы работы насоса неустойчивы).

5.4. Наивыгоднейшая консистенция вычисляется так:

а) для каждой точки пересечения расходно-напорных характеристик насоса и трубопровода находятся расходы гидросмеси для принятых величин консистенций c_0 (рис. 6);

б) для каждой точки пересечения расходно-напорных характеристик насоса и трубопровода по расходно-мощностным характеристикам определяется мощность N_{cm} для принятых величин консистенций c_0 (рис. 6);

в) для найденных величин N_{cm} и Q_{cm} и принятых величин c_0 вычисляется производительность гидротранспортной системы по грунту Q_t и удельные затраты энергии E_{cm} :

$$Q_T = Q_{CM} c_p; \quad (23)$$

$$E_{CM} = N_{CM} / Q_T, \quad (24)$$

где c_p — расходная консистенция гидросмеси, определяемая в зависимости от c_0 по табл. 1.

Примечание. Зависимости $Q_{CM} = f_1(c_0)$; $N_{CM} = f_2(c_0)$; $Q_T = f_3(c_0)$ и $E_{CM} = f_4(c_0)$ представляются в графической форме (рис. 7).

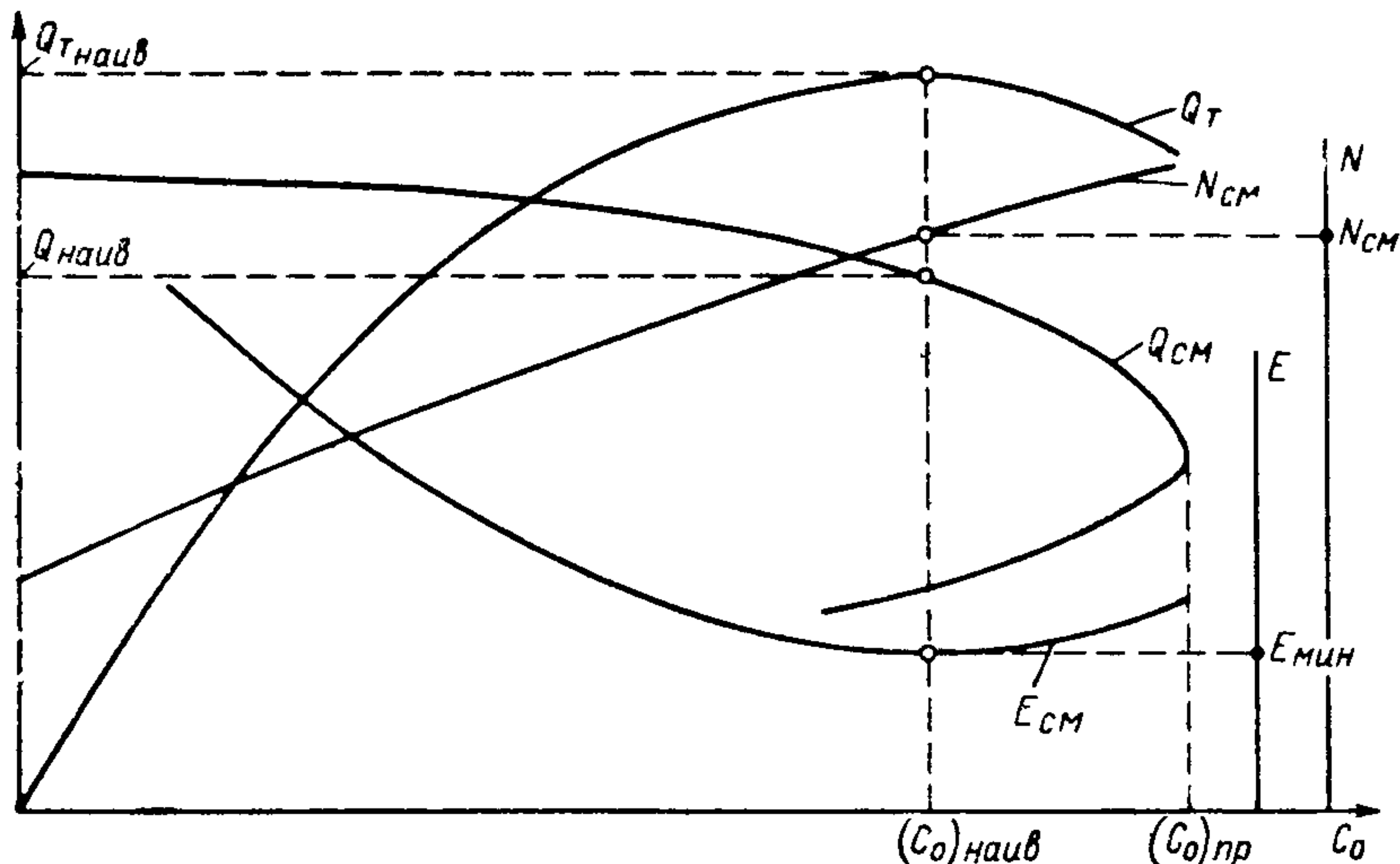


Рис. 7. График зависимости $Q_{CM} = f_1(c_0)$; $N_{CM} = f_2(c_0)$; $Q_T = f_3(c_0)$; $E_{CM} = f_4(c_0)$.

5.5. Консистенция c_0 наив, соответствующая $E_{CM\min}$, является наивыгоднейшей для данной гидротранспортной системы. При отсутствии минимума $E_{CM} = f_4(c_0)$ расчетное значение консистенции c_0 наив принимается из условия устойчивой работы гидротранспортной системы:

$$c_0 \text{ наив} = 0,8c_0 \text{ пр},$$

где $c_{\text{пр}}$ — консистенция, определяемая по точке касания ($Q - H$) характеристик насоса и трубопровода.

| Тип грунтового насоса | Диаметр колеса, мм | Расход | | Напор, м вод. ст. | К. п. д. % | Число оборотов, об/мин |
|-----------------------|--------------------|--------|-------|-------------------|------------|------------------------|
| | | м³/ч | л/сек | | | |
| 1000-80 | 2310 | 14000 | 3900 | 78 | 78 | 300 |
| 500-60 | 1330 | 8500 | 2370 | 62 | 68 | 500 |
| 20Р-11 (300-40) | 1230 | 4200 | 1170 | 52 | 57 | 495 |
| ЗГМ-2М | 850 | 2160 | 600 | 50 | 65 | 735 |
| ЗГМ-1-350А | 865 | 1900 | 527 | 61 | 69 | 740 |
| | 910 | 1900 | 527 | 43 | 70 | 590 |
| 20Гру-8л | 1360 | 5200 | 1450 | 63 | 70 | 500 |
| 16Гру-8л | 1030 | 2000 | 555 | 60 | 68 | 590 |
| 10Гру-8л | 700 | 900 | 250 | 38 | 72 | 730 |

5.6. Для принятого значения c_0 наив и соответствующего ему $Q_{\text{см}} \text{ наив}$ определяется статическая высота всасывания $H_{\text{вс}}$ грунтового насоса:

$$H_{\text{вс}} = (H_r + H_k) \frac{\gamma_{\text{см}}}{\gamma_b} - H_k + H_{\text{см.вс}}, \text{ м}, \quad (25)$$

где H_r — геодезическая высота всасывания (разница отметок оси насоса и уровня воды), H_k — глубина погружения всасывающего наконечника под уровень воды, м; $H_{\text{см.вс}}$ — суммарные потери напора местные и на трение при движении гидросмеси во всасывающем трубопроводе, м.

5.7. Ориентировочная предельная статическая высота всасывания $H_{\text{вс.пр}}$ вычисляется по формуле:

$$H_{\text{вс.пр}} = 10 \left[1 - \left(\frac{n \sqrt{Q_{\text{см}}}}{\chi} \right)^{1/3} \frac{\gamma_{\text{см}}}{\gamma_b} \right], \text{ м} \quad (26)$$

где n — число оборотов рабочего колеса землесоса об/мин; χ — „кавитационная“ быстроходность насоса. Для грунтовых насосов современной конструкции χ можно определить по формуле

$$\chi = \frac{4400}{\left(\frac{715}{m^4} + 0,2m^2 \right)^{3/4}} \quad (27)$$

$$m = \frac{D_0}{\sqrt[3]{\frac{Q_{\text{см}}}{n}}} ; \quad (28)$$

где D_0 — входной диаметр рабочего колеса, м; $Q_{\text{см}}$ — расход гидросмеси, м³/мин.

При $H_{\text{вс}} > H_{\text{вс.пр}}$ необходимо изменить условия всасывания или уменьшить расчетную величину c_0 .

Б. Упрощенный расчет наивыгоднейшего режима работы гидротранспортной системы по паспортным (табличным) данным грунтового насоса

5.8 Для временных трубопроводов, прокладываемых на период строительного сезона, и для коротких магистральных трубопроводов определение режима работы гидротранспортной системы разрешается выполнять упрощенно с помощью паспортных (табличных) данных грунтового насоса (табл. 8).

Таблица 8

| Допустимая высота всасывания, м вод. ст. | Наибольшие размеры крупных включений грунта, мм | Мощность, квт | | Рекомендуемый тип электродвигателя | Диаметры патрубков, мм | |
|--|---|---------------|------------------|------------------------------------|------------------------|-----------|
| | | на валу | электродвигателя | | всасывающего | напорного |
| 5,0 | 350 | 4300 | 4400 | ДАП 260/99-20 | 854 | 672 |
| 4,8 | 350 | 2200 | 2440 | СМ 3000-500 | 600 | 600 |
| 5,0 | 220 | 1150 | 1250 | СДН 16-41-12 | 500 | 500 |
| 5,2 | 190 | 520 | 630 | АК-13-62-8 | 350 | 300 |
| 4,5 | 210 | 520 | 630 | АК-13-62-8 | 350 | 350 |
| 5,5 | 210 | 375 | 500 | АК-13-62-10 | 350 | 350 |
| 7,5 | 300 | 1450 | 1600 | СДН3-16-51-12 | 500 | 450 |
| 7,2 | 230 | 600 | 630 | АКН-14-46-10 | 400 | 350 |
| 7,6 | 150 | 150 | 200 | АК-112-8 | 250 | 200 |

5.9 Диаметр стандартного трубопровода, в котором движение гидро-смеси должно осуществляться в режиме скоростей, близких к критическим, определяется по формуле

$$D = 2 \sqrt{\frac{Q_{\text{в.пасп}}}{\pi v_{\text{кр}}}}, \quad (29)$$

где $Q_{\text{в.пасп}}$ — паспортный (табличный) расход по воде выбранного грунтового насоса; $v_{\text{кр}}$ — критическая скорость, вычисленная по формуле (1).

5.10. Величина нормативной по ЕРЕР консистенции при расчете критической скорости по формуле (1) принимается в зависимости от группы грунта по ЕРЕР (при пористости 35%) согласно табл. 9.

Таблица 9

| Группа грунта по ЕРЕР | Наименование грунта по СНиП II-Б. I-62 | Т : Ж по ЕРЕР | c_0 |
|-----------------------|--|---------------|-------|
| I | Песок пылеватый | 1 : 7 | 0,088 |
| II | Песок мелкий и средний | 1 : 9 | 0,068 |
| III | Песок крупный | 1 : 11 | 0,056 |
| IV | Песок гравелистый | 1 : 14 | 0,044 |
| V | Грунт гравийный | 1 : 18 | 0,035 |
| VI | Грунт гравийно-галечниковый | 1 : 22 | 0,028 |

При мечания.
1. Определение диаметра трубопровода производится подбором с помощью формул (1) и (29) или по номограмме (рис. 8).

2. При несовпадении вычисленного диаметра трубопровода со стандартным следует принимать ближайший стандартный диаметр по сортаменту труб.

5.11. Ориентировочно диаметр трубопровода можно определить в зависимости от используемого оборудования и наименования транспортируемого грунта по данным табл. 10.

Таблица 10

| Тип грунтового насоса | Категория грунта по ЕРЕР | |
|--------------------------|--------------------------|-----------|
| | I, II, III | IV, V, VI |
| Диаметр трубопровода, мм | | |
| 1000-80 | 1000 | 900 |
| 500-60 | 700 | 600 |
| 20Р-11 (300-40) | 600 | 500 |
| ЗГМ-1-350А | 400 | 350 |
| 8Гр-8 | 300 | 250 |

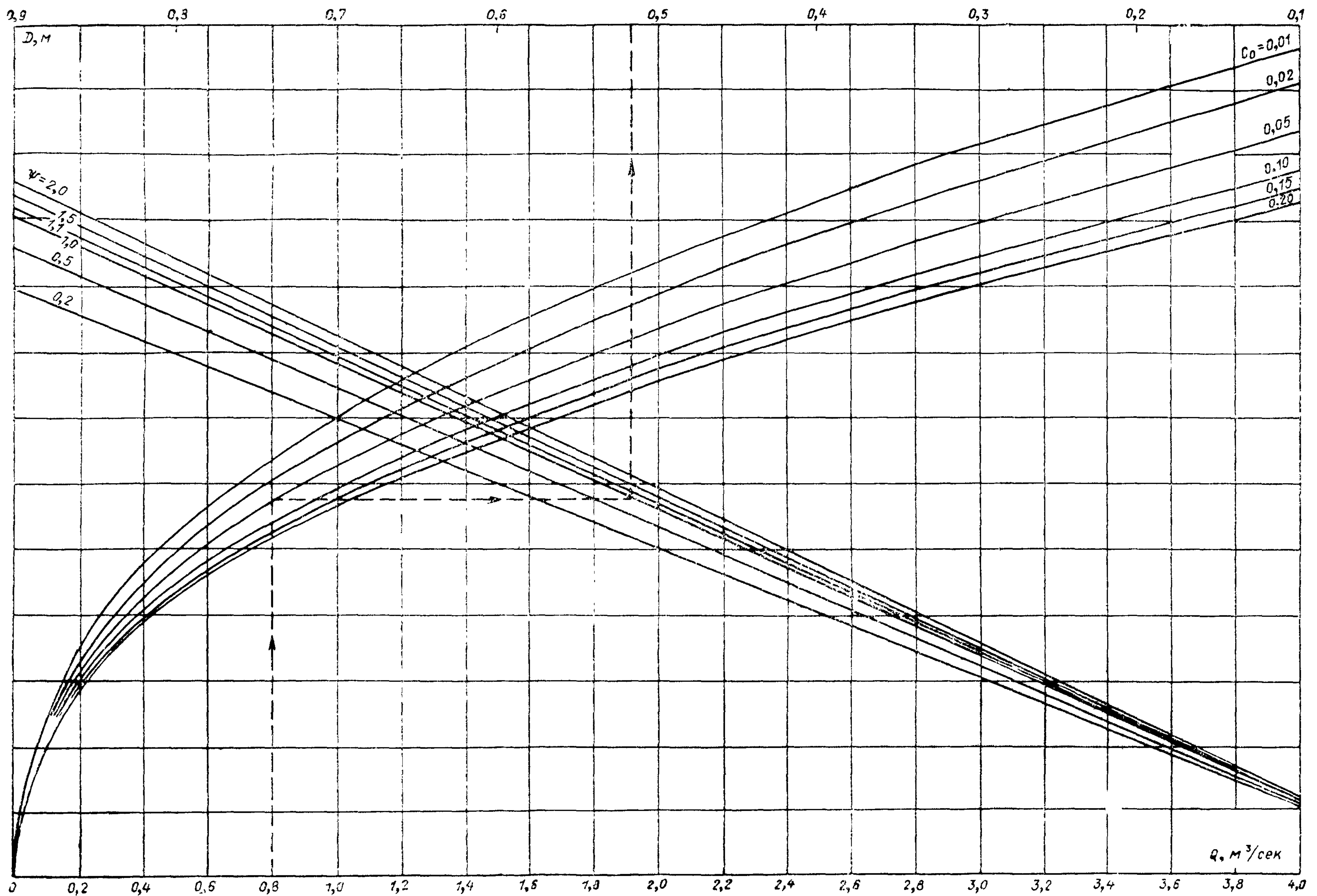


Рис. 8. Номограмма для определения диаметра трубопровода D

ПРИЛОЖЕНИЕ 1

**ОБОСНОВАНИЕ МЕТОДИКИ ГИДРАВЛИЧЕСКОГО РАСЧЕТА
ГИДРОТРАНСПОРТНЫХ СИСТЕМ, ПОДАЮЩИХ ГРУНТОВЫЕ СМЕСИ**

В основу методики расчета удельных потерь напора при движении гидросмеси в напорных трубопроводах положена наиболее распространенная среди исследователей двухчленная формула

$$I_{\text{см}} = I_{\text{в}} + \Delta I, \quad (30)$$

где $I_{\text{см}}$ — удельные потери напора при движении гидросмеси, $I_{\text{в}}$ — то же при движении воды; ΔI — дополнительные удельные потери, вызванные наличием в потоке твердых частиц.

Как показывают опытные материалы, в диапазоне скоростей от $v = v_{\text{кр}}$ до $v = (2 \div 3) v_{\text{кр}}$ величина ΔI обратно пропорциональна первой степени скорости и ее можно записать в виде:

$$\Delta I = \frac{B}{v}, \quad (31)$$

где B — параметр, не зависящий от скорости и являющийся функцией различных характеристик гидросмеси, а также ее жидкой и твердой составляющих.

Учитывая, что $I_{\text{в}}$ находится, приблизительно, в прямой зависимости от v^2 , формулу (30) можно представить в виде:

$$I_{\text{см}} = A v^2 + \frac{B}{v}. \quad (32)$$

Структура формулы (32) предопределяет наличие на изоконсистентной кривой $I_{\text{см}} = f(v)$ точки, в которой $I_{\text{см}}$ — минимально, что подтверждается и данными отечественных и зарубежных исследований гидротранспорта песчаных и гравийных грунтов. Скорость v_0 , соответствующая минимуму кривой $I_{\text{см}} = f(v)$, определяется по формуле

$$v_0 = \sqrt[3]{\frac{B}{2A}}. \quad (33)$$

С учетом (33) формулу (32) можно записать в виде:

$$I_{\text{см}} = I_{\text{в}} \left[1 + 2 \left(\frac{v_0}{v} \right)^3 \right]. \quad (34)$$

Формула (34) была рекомендована в «Указаниях» 1967 г. в качестве расчетной для определения удельных потерь напора на трение при движении гидросмеси по напорным трубопроводам.

В общем случае скорость v_0 не совпадает с критической скоростью $v_{\text{кр}}$, при которой начинается осаждение частиц грунта или материала в нижней части трубы, однако, с достаточной точностью для практики можно считать, что минимальные удельные потери напора отвечают критическому ре-

жиму транспортирования, так как величины $I_{\text{кр}}$ и $I_{\text{мин}}$ отличаются незначительно. Поэтому в настоящей Инструкции в качестве расчетной принята формула, имеющая структуру формулы (30). Величина $\Delta I_{\text{кр}}$ была определена на основании опытных данных, которыми авторы располагали еще при составлении «Указаний» 1967 г, а также на основе дополнительных данных, полученных на различных экспериментальных установках в течение 1967—1969 гг.

Окончательная формула для расчета удельных потерь напора при гидравлическом транспорте песчаных и гравийных грунтов в горизонтальных трубопроводах получена в следующем виде:

$$I_{\text{см}} = \lambda_{\text{в}} \frac{v^2}{2gD} + \delta \sqrt{j} \sqrt[3]{c_0^2} \frac{Q_{\text{см кр}}}{Q_{\text{см}}}. \quad (35)$$

В настоящей Инструкции рассмотрены две характерные группы грунтов, различающихся по своему гранулометрическому составу, так называемые «одномодальные» и «двуходмодальные» грунты. Зная закономерности распределения фракций в составе, можно получить физически обоснованный параметр разнозернистости грунта обеих групп.

Исследования движения чистой воды в стальных трубопроводах, по которым транспортировался грунт, показали, что гидравлические сопротивления в таких трубах вследствие шлифовки их внутренней поверхности частичками грунта, близки к сопротивлениям в гидравлически гладких трубах. Однако это справедливо лишь для трубопроводов, собранных из новых стальных труб. Если для гидравлического транспорта используются стальные трубы, эксплуатировавшиеся ранее на водопроводных магистралях, или трубы с корродированной поверхностью стенок, то при гидравлическом транспорте эти трубы не отшлифовываются до гидравлически гладких, и при движении в них чистой воды их следует рассчитывать как шероховатые трубы. Поэтому в Инструкции приведены рекомендации по определению коэффициента сопротивления $\lambda_{\text{в}}$ для гидравлически гладких и шероховатых труб.

В результате обработки имеющихся материалов по гидравлическому транспорту песчаных и гравийных грунтов получена формула для расчета высоты слоя отложений в горизонтальном трубопроводе при расходе гидросмеси меньше критического.

Для обоснования методики расчета были использованы материалы лабораторных и производственных исследований по гидравлическому транспорту грунтов, проведенных различными организациями (табл. 11). Кроме того использованы данные ВНИИГС, НИИЖелезобетона и др.

В основу расчета гидравлических систем положены условия совместной работы грунтового насоса и трубопровода, поэтому в настоящей Инструкции приведена методика, согласно которой полученные на воде рабочие характеристики грунтовых насосов пересчитываются на гидросмесь различной консистенции с учетом абразивного износа проточной части насоса.

На основании различий гидродинамических и кавитационных характеристик грунтовых насосов, можно последние разделить на две группы:

а) насосы, при работе которых увеличение консистенции гидросмеси во всех режимах (кроме срывной кавитации при $Q_{\text{макс}}$, рис. 9, а) сопровождается повышением напора;

б) насосы типа 20Р-11 и 500-60, при работе которых увеличение консистенции гидросмеси вызывает повышение напора лишь до определенного расхода $Q_{\text{пр}}$. При расходах, превышающих $Q_{\text{пр}}$ (рис. 9, б), увеличение консистенции гидросмеси приводит к снижению напора.

Таблица II

| Наименование организации | Место проведения исследований | Диаметр трубопровода, мм | Исследованный грунт | Время проведения исследований, гг. |
|--|---|--------------------------|---|------------------------------------|
| ВНИИГ | Экспериментальная установка в Ленинграде | 250 | Гравелистый песок и гравийный грунт | 1950—1953 |
| ВНИИГ | Экспериментальная установка в Мингечауре | 355 | Гравийно-галечниковый грунт и гравелистый песок | 1951—1953 |
| МИСИ и Трест „Гидромеханизация“ Минэнерго СССР | Экспериментальная установка в Дмитрове | 250 300 350 | Мелкий и крупный песок, гравийный грунт | 1935—1938 |
| | Экспериментальная установка в Волгограде | 407 514 | Крупный песок, гравийно-галечниковый грунт | 1965—1966 |
| Институт Гидромеханики АН УССР | Экспериментальная установка в Киеве | 104 206 308 | Мелкий песок | 1960—1965 |
| | Производственная установка на Каховской и Кременчугской ГЭС | 614 800 | Мелкий песок | 1955—1958 |
| МИСИ и УкрНИИгидроуголь | Экспериментальная установка в Донецке | 358 | Щебенистый грунт, крупностью до 50 мм Песчанистый и глинистый сланец крупность до 100 мм | 1968—1969 |

В настоящей Инструкции приведен метод пересчета расходно-напорных характеристик для обеих указанных групп насосов. Пересчет рабочих

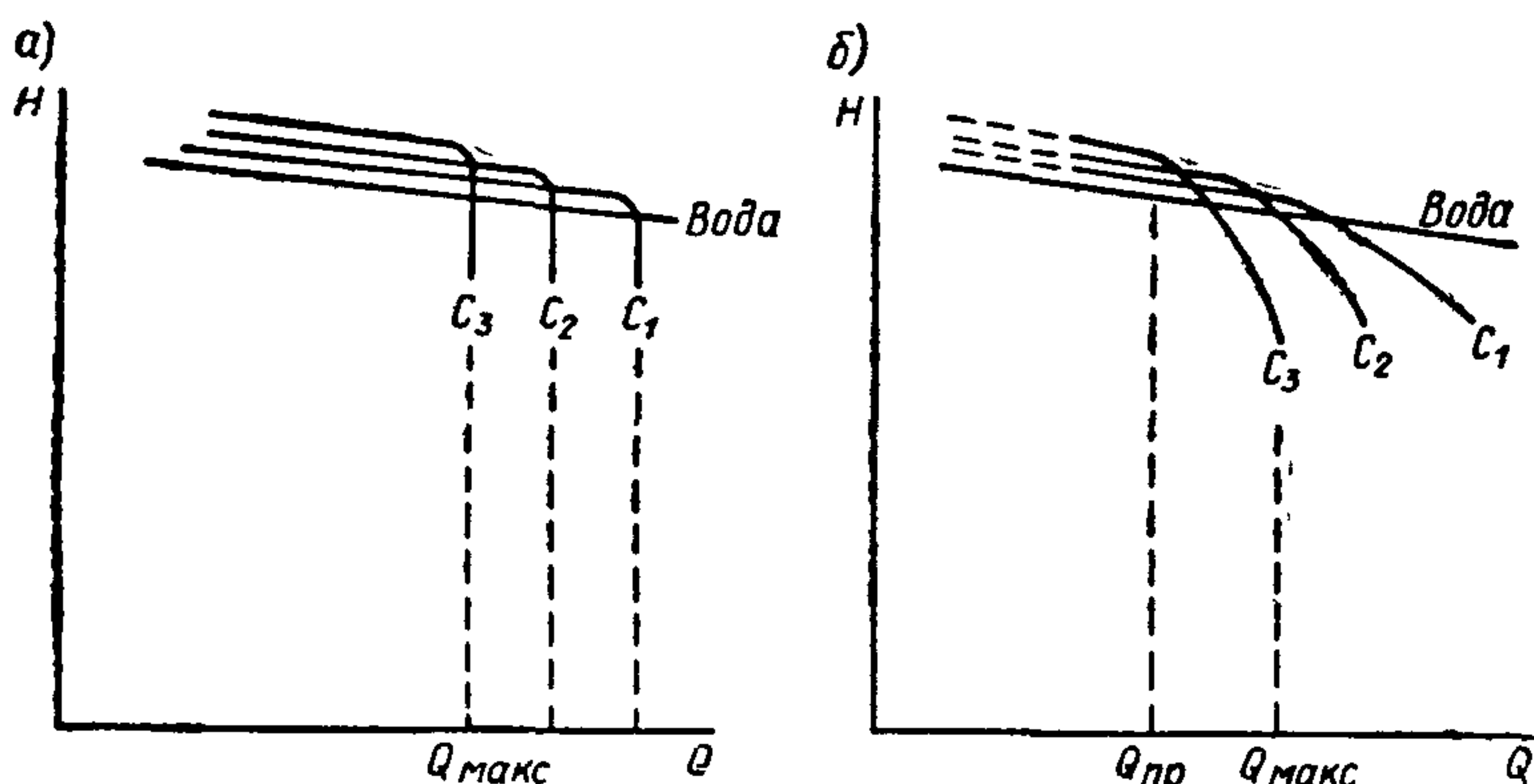


Рис. 9

а) расходно-напорные характеристики насосов; б) расходно-напорные характеристики насосов 20Р-11 и 500-60.

Характеристик грунтовых насосов при гидроабразивном износе дается в зависимости от количества, пропущенного через насос грунта волях от нормативного количества, определяющего полный (пределный) износ рабо-

чего колеса. Формулы пересчета расходно-напорных характеристик грунтовых насосов получены на основе обобщения экспериментальных и производственных материалов по насосам типа 12Р-7, ЗГМ-1-350А, 10Гру-8Т, 20Р-11 (300-40) и 500-60.

Устойчивая работа грунтового насоса для заданных условий гидравлического транспорта возможна, когда расходно-напорные характеристики насоса и трубопровода пересекаются в одной точке. Точка пересечения этих характеристик определяет расход гидросмеси или воды, который может подать насос в трубопровод, уложенный по выбранной трассе. В Инструкции приведен метод расчета энергетически наивыгоднейшего режима работы гидротранспортной системы, при котором затраты энергии на транспортирование единицы объема грунта (удельные затраты энергии) наименьшие. Как известно, в стоимость гидротранспорта включаются и другие затраты на амортизацию оборудования, оплату обслуживающего персонала и др. Однако эти затраты будут для данной гидротранспортной системы постоянными, поэтому в приводимом методе расчета они не рассматриваются. Учитывая, что при перекачке грунта происходит изменение расходно-напорной характеристики грунтового насоса в качестве расчетной рекомендуется принимать среднюю характеристику между характеристиками нового и изношенного насосов, а затем определяют наивыгоднейшие для заданных условий гидравлического транспорта расход гидросмеси и ее консистенцию.

В Инструкции приведен упрощенный метод расчета гидротранспортной системы, основанный на паспортных (табличных) данных грунтовых насосов.

ПРИЛОЖЕНИЕ 2

Классификация крупнообломочных и песчаных грунтов (по СНиП II-Б. 1-62)

| Наименование крупнообломочных и песчаных грунтов | Распределение частиц по крупности от веса сухого грунта, % |
|---|--|
| Крупнообломочные | |
| Грунт щебенистый (при преобладании окатанных частиц—галечниковый) | Вес частиц крупнее 10 <i>мм</i> составляет более 50% |
| Грунт дресвяный (при преобладании окатанных частиц—гравийный) | Вес частиц крупнее 2 <i>мм</i> составляет более 50% |
| Песчаные | |
| Песок гравелистый | Вес частиц крупнее 2 <i>мм</i> составляет более 25% |
| Песок крупный | Вес частиц крупнее 0,5 <i>мм</i> составляет более 50% |
| Песок средней крупности | Вес частиц крупнее 0,25 <i>мм</i> составляет более 50% |
| Песок мелкий | Вес частиц крупнее 0,10 <i>мм</i> составляет более 75% |
| Песок пылеватый | Вес частиц крупнее 0,10 <i>мм</i> составляет менее 75% |

Примечание. Для установления наименования последовательно суммируются проценты содержания частиц исследуемого грунта, сначала крупнее 10 *мм*, затем крупнее 2 *мм*, далее крупнее 0,5 *мм* и т. д. Наименование грунта принимается по первому удовлетворяющему показателю в порядке расположения наименований в таблице.

ПРИЛОЖЕНИЕ 3

Значения $c_0^{1,2}$; $c_0^{1/6}$; $c_0^{2/3}$

| c_0 | $c_0^{1,2}$ | $c_0^{1/6}$ | $c_0^{2/3}$ | c_0 | $c_0^{1,2}$ | $c_0^{1/6}$ | $c_0^{2/3}$ |
|-------|-------------|-------------|-------------|-------|-------------|-------------|-------------|
| 0,01 | 0,0040 | 0,463 | 0,0465 | 0,11 | 0,0709 | 0,692 | 0,2300 |
| 0,02 | 0,0091 | 0,521 | 0,0742 | 0,12 | 0,0785 | 0,703 | 0,2440 |
| 0,03 | 0,0148 | 0,557 | 0,0966 | 0,13 | 0,0865 | 0,711 | 0,2560 |
| 0,04 | 0,0209 | 0,585 | 0,1170 | 0,14 | 0,0945 | 0,721 | 0,2700 |
| 0,05 | 0,0276 | 0,606 | 0,1355 | 0,15 | 0,1028 | 0,730 | 0,2820 |
| 0,06 | 0,0338 | 0,625 | 0,1530 | 0,16 | 0,1110 | 0,736 | 0,2940 |
| 0,07 | 0,0407 | 0,641 | 0,1700 | 0,17 | 0,1190 | 0,745 | 0,3070 |
| 0,08 | 0,0479 | 0,656 | 0,1860 | 0,18 | 0,1281 | 0,752 | 0,3200 |
| 0,09 | 0,0556 | 0,670 | 0,2010 | 0,19 | 0,1365 | 0,759 | 0,3300 |
| 0,10 | 0,0631 | 0,680 | 0,2150 | 0,20 | 0,1450 | 0,765 | 0,3420 |

ПРИЛОЖЕНИЕ 4

ПРИМЕРЫ РАСЧЕТА

Пример 1. Расчет наивыгоднейшего режима работы гидротранспортной системы по рабочим характеристикам грунтового насоса и трубопровода

Разработать и перекачать мелкий песок земснарядом 300-40 с грунтовым насосом 20Р-11 на расстояние 1500 м с геодезическим подъемом 10 м. Гранулометрический состав мелкого песка приведен в табл. 12

Таблица 12

| Размер фракций, мм | > 0,50 | 0,50 — 0,25 | 0,25 — 0,10 | 0,10 — 0,05 |
|--------------------|--------|-------------|-------------|-------------|
| Содержание, % | 0,5 | 11,8 | 70,0 | 17,7 |

Определение характеристик грунта. 1. Строятся кривая гранулометрического состава и гистограмма (рис. 10). С помощью гистограммы устанавливается, что рассматриваемый грунт (мелкий песок по СНиП II-Б 1-62) относится к группе одномодальных грунтов. По трудности разработки — грунт II категории

2. По кривой гранулометрического состава определяются показатели состава $d_{10} = 0,075 \text{ мм}$ и $d_{90} = 0,27 \text{ мм}$.

3. Подсчитываются:

$$\text{коэффициент разнозернистости } j = \frac{3 \cdot 0,075}{0,27} = 0,83;$$

$$\text{средневзвешенная крупность грунта } d_0 = \frac{1}{100} (1,075 \cdot 17,7 + 0,175 \cdot 70 + 0,375 \cdot 11,8 + 0,50 \cdot 0,50) = 0,18 \text{ мм};$$

$$\text{средневзвешенный коэффициент } \Psi_{cp} = \frac{1}{100} [0,02 \cdot 17,7 + 0,2 \cdot 70 + 0,4 \cdot 11,8 + 0,8 \cdot 0,5] = 0,20.$$

Пересчет расходно-напорной характеристики нового грунтового насоса типа 20Р-11 1. Вычисление коэффициента k_0 . Максимально возможный расход насоса при работе на воде равен $Q_{\text{в макс}} = 4800 \text{ м}^3/\text{ч}$. Результаты вычисления $Q_{\text{см макс}}$ и k_0 по формуле (18) при различных c_0 сведены в табл. 13.

Таблица 13

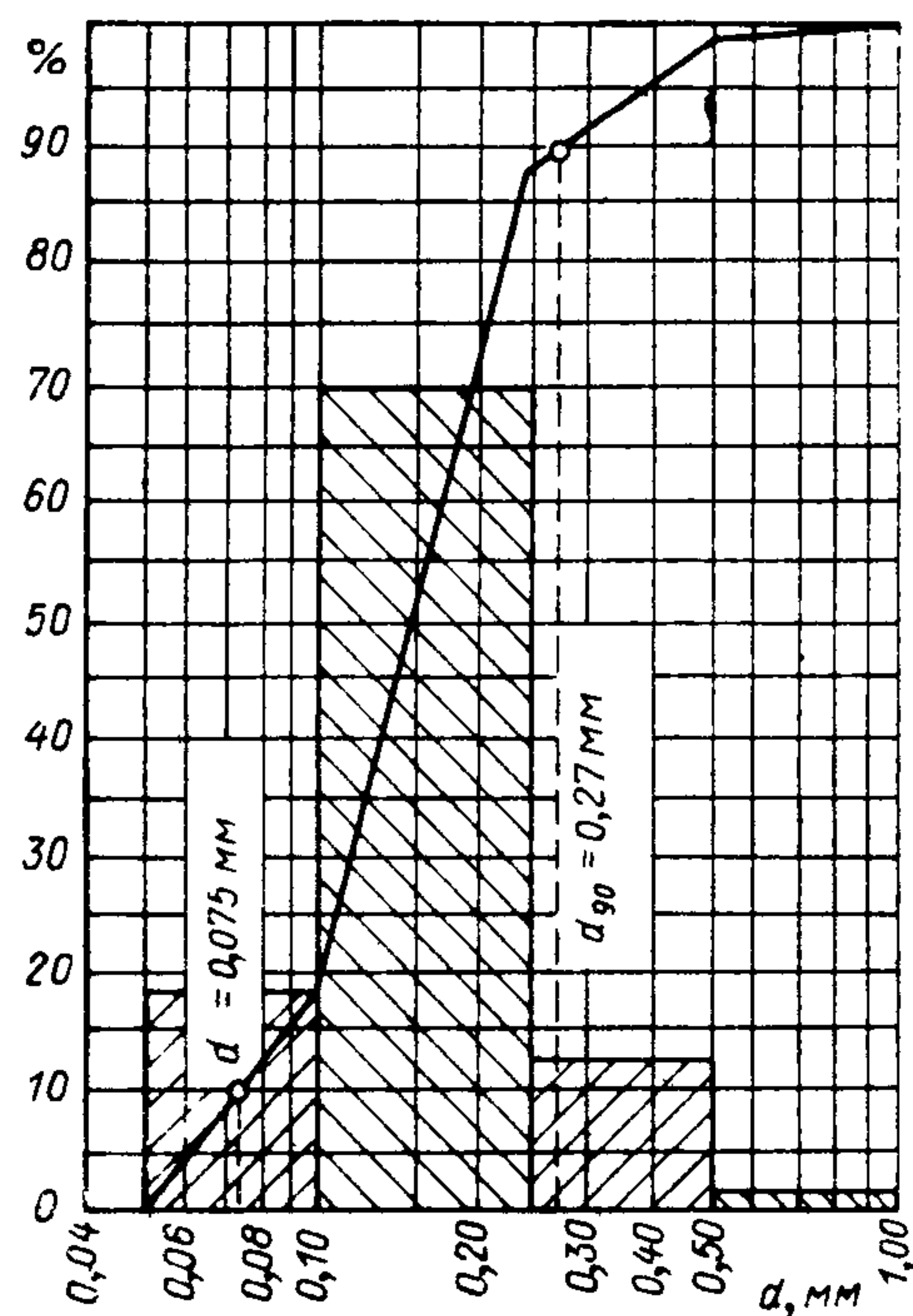


Рис. 10. Кривая гранулометрического состава и гистограмма фракций однодоменного грунта.

| c_0 | $Q_{\text{см макс}} \text{ м}^3/\text{ч}$ | $Q_0 \text{ м}^3/\text{ч}$ |
|-------|---|----------------------------|
| 0,05 | 4400 | 3520 |
| 0,10 | 4000 | 3200 |
| 0,12 | 3840 | 3070 |
| 0,15 | 3600 | 2880 |
| 0,20 | 3200 | 2560 |

Результаты вычисления k_0 по формуле (17) для различных $Q_{\text{см}}$ и принятых величин c_0 сведены в табл. 14

2 Вычисление напора при работе нового насоса на гидросмеси производится по формуле (16) при различных $Q_{\text{см}}$ и принятых величин c_0 . Величина напора при работе нового насоса на воде $H_{\text{в}}$ для различных $Q_{\text{см}}$ определена по рабочей характеристике, приведенной в «Альбоме оборудования для гидромеханизации». Результаты вычислений сведены в табл. 15.

Пересчет расходно-напорной характеристики полностью изношенного грунтового насоса типа 20Р-11 производится аналогично пересчету характеристик нового насоса с учетом формулы (20) при $q=1,0$ и коэффициентах $a_1=0,15$ и $a_2=0,30$.

Таблица 14

| $Q_{\text{см}}, \text{ м}^3/\text{ч}$ | k_0 | | | | |
|---------------------------------------|------------|------------|------------|------------|------------|
| | $c_0=0,05$ | $c_0=0,10$ | $c_0=0,12$ | $c_0=0,15$ | $c_0=0,20$ |
| 4400 | 0,879 | — | — | — | — |
| 4200 | 0,906 | — | — | — | — |
| 4000 | 0,931 | 0,758 | — | — | — |
| 3800 | 0,962 | 0,812 | 0,730 | — | — |
| 3600 | 0,987 | 0,875 | 0,790 | 0,640 | — |
| 3500 | 1,0 | 0,910 | 0,835 | 0,690 | — |
| 3400 | 1,0 | 0,937 | 0,867 | 0,730 | — |
| 3300 | 1,0 | 0,965 | 0,905 | 0,775 | — |
| 3200 | 1,0 | 1,00 | 0,946 | 0,837 | 0,515 |
| 3000 | 1,0 | 1,00 | 1,00 | 0,932 | 0,650 |
| 2800 | 1,0 | 1,00 | 1,00 | 1,00 | 0,800 |
| 2600 | 1,0 | 1,00 | 1,00 | 1,00 | 0,970 |
| 2500 | 1,0 | 1,00 | 1,00 | 1,00 | 1,00 |

Таблица 15

| $Q_{\text{см}}, \text{м}^3/\text{ч}$ | $H_B, \text{м}$ | $c_0=0,05, \frac{c^{1,2}}{V\Psi}=1,062$ | | $c_0=0,10, \frac{c^{1,2}}{V\Psi}=1,142$ | | $c_0=0,12, \frac{c^{1,2}}{V\Psi}=1,18$ | | $c_0=0,15, \frac{c^{1,2}}{V\Psi}=1,23$ | | $c_0=0,20, \frac{c^{1,2}}{V\Psi}=1,324$ | |
|--------------------------------------|-----------------|---|-----------------|---|-----------------|--|-----------------|--|-----------------|---|-----------------|
| | | k_0 | $H_{\text{см}}$ | k_0 | $H_{\text{см}}$ | k_0 | $H_{\text{см}}$ | k_0 | $H_{\text{см}}$ | k_0 | $H_{\text{см}}$ |
| 4400 | 50,5 | 0,879 | 47,0 | — | — | — | — | — | — | — | — |
| 4200 | 51,5 | 0,906 | 50,0 | — | — | — | — | — | — | — | — |
| 4000 | 52,5 | 0,931 | 52,0 | 0,758 | 45,5 | — | — | — | — | — | — |
| 3800 | 53,0 | 0,962 | 54,2 | 0,812 | 50,2 | 0,710 | 44,5 | — | — | — | — |
| 3600 | 54,0 | 0,987 | 56,5 | 0,875 | 54,0 | 0,790 | 50,3 | 0,640 | 42,6 | — | — |
| 3500 | 54,5 | 1,00 | 58,5 | 0,910 | 56,5 | 0,835 | 53,5 | 0,690 | — | — | — |
| 3400 | 55,0 | 1,00 | 58,5 | 0,937 | 59,0 | 0,868 | 56,1 | 0,730 | 49,3 | — | — |
| 3300 | 55,5 | 1,00 | 59,0 | 0,965 | — | 0,910 | 59,5 | 0,775 | — | — | — |
| 3200 | 56,0 | 1,00 | — | 1,00 | 64,0 | 0,946 | 62,5 | 0,837 | 57,0 | 0,515 | 38,7 |
| 3000 | 56,5 | 1,00 | 60,0 | 1,00 | 64,5 | 1,00 | 67,0 | 0,932 | 69,5 | 0,650 | 48,5 |
| 2800 | 57,0 | 1,00 | — | 1,00 | 65,0 | — | — | 1,00 | 70,0 | 0,800 | 60,5 |
| 2600 | 57,5 | 1,00 | — | 1,00 | — | — | — | 1,00 | 71,5 | 0,970 | 74,5 |
| 2500 | 58,0 | 1,00 | 62,0 | 1,00 | 66,5 | 1,00 | 69,0 | 1,00 | 71,5 | 1,00 | 77,0 |
| 2100 | 59,5 | 1,00 | — | 1,00 | — | — | — | 1,00 | 73,0 | 1,00 | — |
| 2000 | 60,0 | 1,00 | 64,0 | 1,00 | 68,5 | 1,00 | 71,0 | 1,00 | 73,9 | 1,00 | 79,5 |
| 1750 | 60,5 | 1,00 | — | 1,00 | — | — | — | 1,00 | 74,5 | 1,00 | 80,0 |
| 1600 | 60,7 | 1,00 | — | 1,00 | — | — | — | 1,00 | 75,0 | 1,00 | — |
| 1500 | 61,0 | 1,00 | 65,0 | 1,00 | 67,7 | 1,00 | 72,0 | 1,00 | 75,0 | 1,00 | 81,0 |
| 1000 | 62,0 | 1,00 | 66,0 | 1,00 | 71,0 | 1,00 | 73,0 | 1,00 | 76,3 | 1,00 | 82,0 |
| 500 | 63,0 | 1,00 | — | 1,00 | — | — | — | 1,00 | 77,5 | 1,00 | 83,5 |

$$Q_{\text{в макс из.}} = 4800 (1 - 0,30^{1,15}) = 3350 \text{ м}^3/\text{ч.}$$

Результаты вычисления $Q_{\text{см. макс из.}}$ и Q_0 по формулам (18) и (20) различных c_0 даны в табл. 16.

Результаты вычисления напора при работе изношенного насоса на гидросмеси для различных $Q_{\text{см}}$ и принятых величин c_0 сведены в табл. 17

Расходно-напорные характеристики нового и изношенного насоса на гидросмеси для различных c_0 приведены на рис. 11. Для расчета наивыгоднейшего режима работы гидротранспортной системы для каждого из принятых c_0 берется расходно-напорная характеристика насоса, средняя между характеристиками, соответствующими новому и изношенному насосам (рис. 12).

Определение диаметра трубопровода. Диаметр трубопровода принимаем равным 600 мм согласно табл. 10 для грунта II категории, транспортируемого насосом типа 20Р-11.

Расчет потерь напора в трубопроводе $D = 600 \text{ мм}$ длиной 1500 м при транспортировании гидросмеси различной консистенции с геодезическим подъемом 10 м. Величины консистенции гидросмеси в расчете принимаются такие же, как и ранее. $c_0=0,05$; $c_0=0,10$; $c_0=0,12$; $c_0=0,15$ и $c_0=0,20$. Расчет критической скорости производится по формуле (1); расход гидросмеси, соответствующей критической скорости, определяется по формуле (2); удельные потери напора вычисляются по формуле (5), дополнительные удельные потери напора — по формуле (8), суммарные потери напора — по формуле (14) при коэффициенте запаса $k=1,15$. Результаты расчета сведены в табл. 18

Таблица 16

| c_0 | $Q_{\text{см макс из.}}, \text{м}^3/\text{ч}$ | $Q_0, \text{м}^3/\text{ч}$ |
|-------|---|----------------------------|
| 0,05 | 3070 | 2460 |
| 0,10 | 2800 | 2240 |
| 0,12 | 2680 | 2140 |
| 0,15 | 2520 | 2020 |
| 0,20 | 2250 | 1800 |

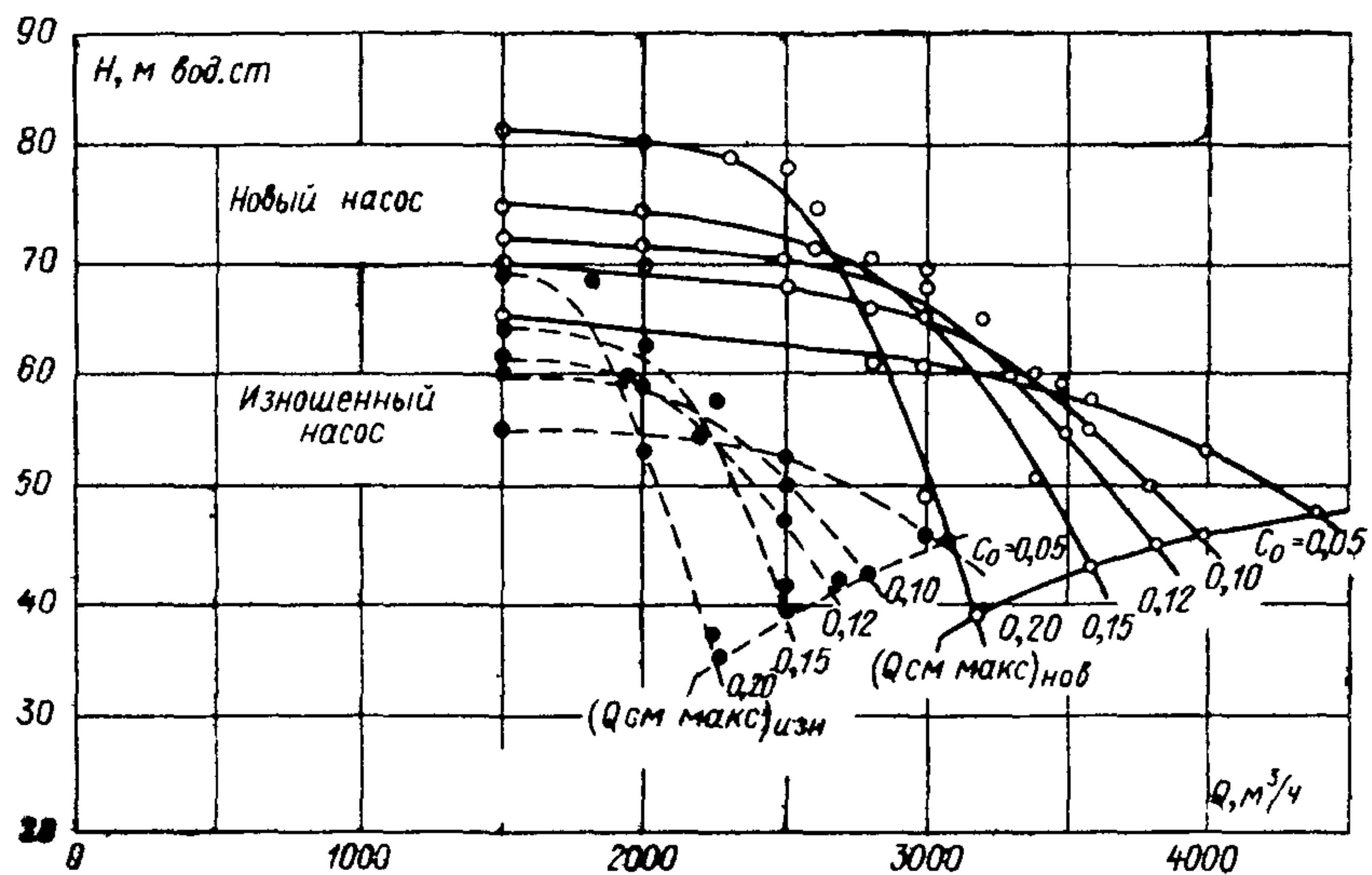


Рис. 11. Расходно-напорные характеристики нового и изношенного грунтовых насосов 20Р-11.

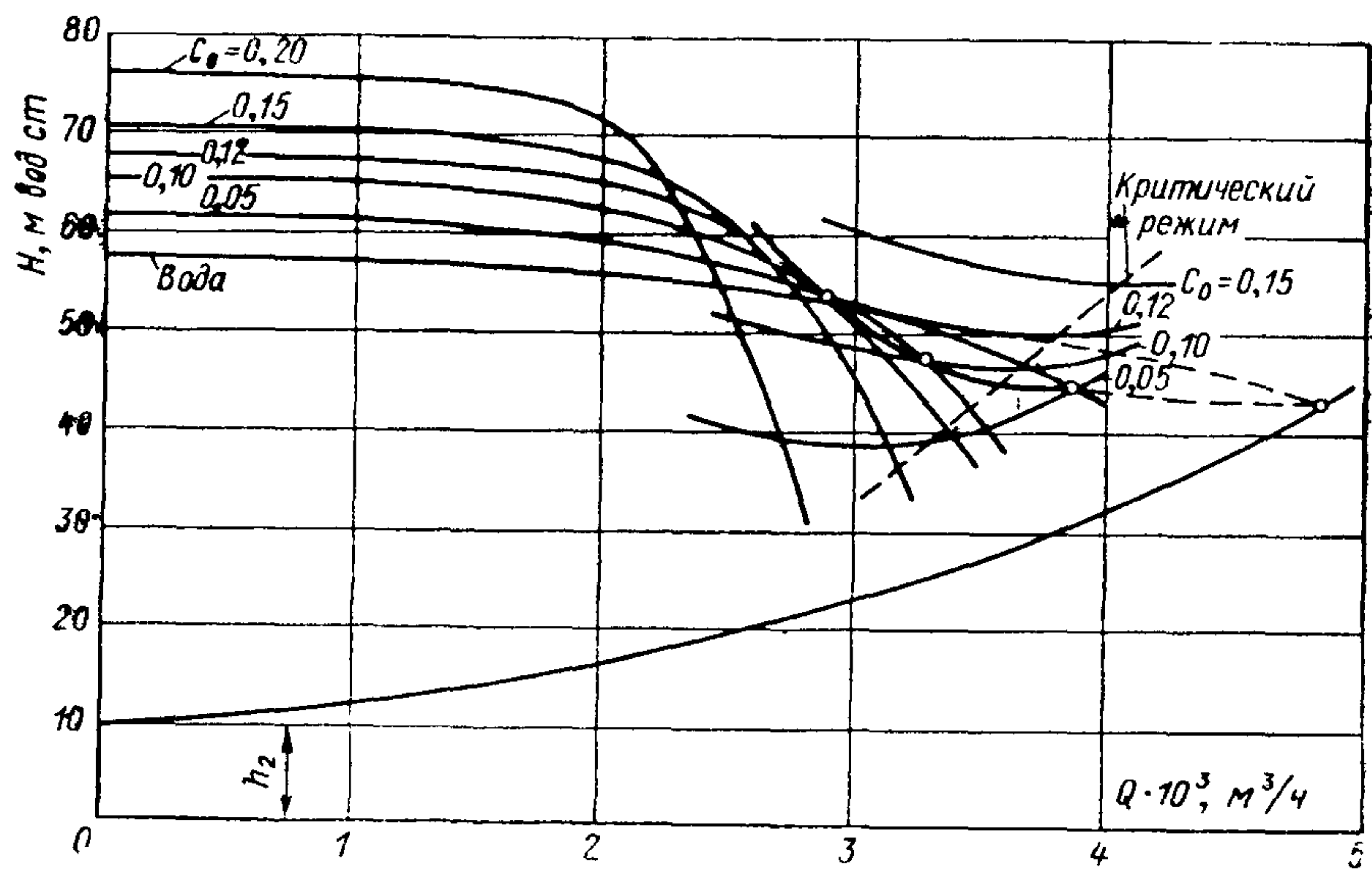


Рис. 12. Расходно-напорные характеристики грунтового насоса 20Р-11 (средние)

Таблица 17

| $Q_{\text{см}}^{\prime}$ $\text{м}^3/\text{ч}$ | $H_{\text{в.из}}$ | $c_0=0,15;$ $1 + \frac{c_0}{V\Psi} = 1,062$ | | $c_0=0,10,$ $1 + \frac{c_0}{V\Psi} = 1,142$ | | $c_0=0,12,$ $1 + \frac{c_0}{V\Psi} = 1,18$ | | $c_0=0,15;$ $1 + \frac{c_0}{V\Psi} = 1,23$ | | $c_0=0,20;$ $1 + \frac{c_0}{V\Psi} = 1,324$ | |
|---|-------------------|--|--------------------|--|--------------------|---|--------------------|---|--------------------|--|--------------------|
| | | k_0 | $H_{\text{см.из}}$ | k_0 | $H_{\text{см.из}}$ | k_0 | $H_{\text{см.из}}$ | k_0 | $H_{\text{см.из}}$ | k_0 | $H_{\text{см.из}}$ |
| 3070 | 47,8 | 0,879 | 44,7 | — | — | — | — | — | — | — | — |
| 3000 | 48,0 | 0,894 | 45,6 | — | — | — | — | — | — | — | — |
| 2800 | 48,6 | — | — | 0,758 | 42,5 | — | — | — | — | — | — |
| 2680 | 49,0 | — | — | — | — | 0,710 | 41,0 | — | — | — | — |
| 2520 | 49,5 | — | — | — | — | 0,787 | 45,5 | 0,635 | 38,2 | — | — |
| 2500 | 49,5 | 0,986 | 52,0 | 0,875 | 49,5 | 0,799 | 46,6 | 0,653 | 39,6 | — | — |
| 2400 | 49,8 | 1,00 | — | — | — | — | — | 0,720 | 44,0 | — | — |
| 2250 | 50,2 | 1,00 | — | 1,00 | 57,2 | — | — | — | — | 0,505 | 33,6 |
| 2200 | 50,4 | 1,00 | — | — | — | — | — | 0,866 | 54,0 | 0,555 | 37,1 |
| 2000 | 51,0 | 1,00 | 54,2 | 1,00 | 58,4 | 1,00 | 60,0 | 1,00 | 62,9 | 0,760 | 51,4 |
| 1800 | 51,5 | 1,00 | — | — | — | 1,00 | — | — | — | 1,00 | 68,0 |
| 1500 | 51,8 | 1,00 | 55,0 | 1,00 | 49,1 | 1,00 | 61,2 | 1,00 | 63,7 | 1,00 | 68,8 |
| 1000 | 52,8 | 1,00 | 56,0 | 1,00 | 60,0 | 1,00 | 62,2 | 1,00 | 65,0 | 1,00 | 69,3 |
| 500 | 53,5 | — | — | — | — | — | — | 1,00 | 65,8 | 1,00 | 70,8 |

Таблица 18

| $V_{\text{кр}}$ $\text{м}^3/\text{сек}$ | $Q_{\text{кр}}^{\prime}$ $\text{м}^3/\text{ч}$ | $V,$ $\text{м}^3/\text{сек}$ | $Q_{\text{см}}^{\prime}$ $\text{м}^3/\text{ч}$ | Удельные потери | | | $H, \text{ м}$ |
|--|---|--|--|--|--|--|--|
| | | | | $100 I_{\text{в}}$ | $100 \Delta I$ | $100 I_{\text{см}}$ | |
| $c_0 = 0,05$ | | | | | | | |
| 3,20 | 3250 | 2,48 2,77 2,93 3,15 3,47 3,65 3,83 | 2500 2800 3000 3200 3500 3700 3900 | 0,95 0,95 0,95 0,95 1,11 1,23 1,34 | 0,63 0,56 0,52 0,49 0,45 0,43 0,41 | 1,58 1,51 1,47 1,44 1,56 1,66 1,75 | 40,8 39,4 38,8 38,1 40,3 42,3 43,8 |
| $c_0 = 0,10$ | | | | | | | |
| 3,64 | 3250 | 2,65 2,93 3,35 3,65 | 2700 3000 3400 3700 | 1,22 1,22 1,22 1,23 | 0,32 0,74 0,65 0,60 | 2,04 1,96 1,87 1,83 | 50,2 48,7 47,1 46,2 |
| $c_0 = 0,12$ | | | | | | | |
| 3,76 | 3800 | 2,48 2,93 3,65 3,93 | 2500 3000 3700 4000 | 1,29 1,29 1,29 1,40 | 1,06 0,89 0,72 0,67 | 2,35 2,18 2,01 2,01 | 56,3 53,2 50,0 51,0 |
| $c_0 = 0,15$ | | | | | | | |
| 4,00 | 4050 | 2,96 3,42 3,77 4,05 | 3000 3500 3800 4100 | 1,45 1,46 1,45 1,50 | 1,08 0,92 0,85 0,79 | 2,53 2,37 2,30 2,29 | 60,5 57,2 56,0 55,8 |

Расходно-напорная характеристика трубопровода нанесена при различных c_0 на рис. 12

Расчет оптимального режима работы гидротранспортной системы. 1. По точкам пересечения расходно-напорных характеристик грунтового насоса и трубопровода определяются расчетные расход и напор при перекачке гидросмеси различной консистенции (табл. 19).

Таблица 19

| c_0 | $H_{\text{см}}$ | $Q_{\text{см}}$ |
|-------|-----------------|-----------------|
| 0,05 | 44,0 | 3880 |
| 0,10 | 47,5 | 3250 |
| 0,12 | 54,0 | 2850 |

2) Определение удельных затрат энергии на перекачку гидросмеси $E_{\text{см}}, \text{kvt/m}^3$.

Для расчета величины $E_{\text{см}}$ предварительно определяются к.п.д. грунтового насоса при работе на гидросмеси по формуле (21), мощность на валу насоса при работе на гидросмеси — по формуле (22), расходная консистенция гидросмеси — по данным табл. 1, производительность гидротранспортной системы по грунту — по формуле (23). Результаты расчета сведены в табл. 20.

Таблица 20

| c_0 | c_p | $Q_{\text{см}}, \text{m}^3/\text{ч}$ | $H_{\text{в}}, \text{м}$ | $H_{\text{см}}, \text{м}$ | $\eta_{\text{в}}$ | $\eta_{\text{см}}$ | $N_{\text{в}}, \text{kvt}$ | $N_{\text{см}}, \text{kvt}$ | $Q_{\text{т}}, \text{m}^3/\text{ч}$ | $E, \text{kvt}\cdot\text{ч}\cdot\text{м}^3$ |
|-------|-------|--------------------------------------|--------------------------|---------------------------|-------------------|--------------------|----------------------------|-----------------------------|-------------------------------------|---|
| 0,05 | 0,030 | 3880 | 53,0 | 44,0 | 0,55 | 0,54 | 830 | 700 | 116 | 6,0 |
| 0,10 | 0,068 | 3250 | 56,0 | 47,5 | 0,53 | 0,51 | 750 | 660 | 221 | 3,0 |
| 0,12 | 0,087 | 2850 | 57,0 | 54,0 | 0,51 | 0,49 | 690 | 680 | 247 | 2,75 |

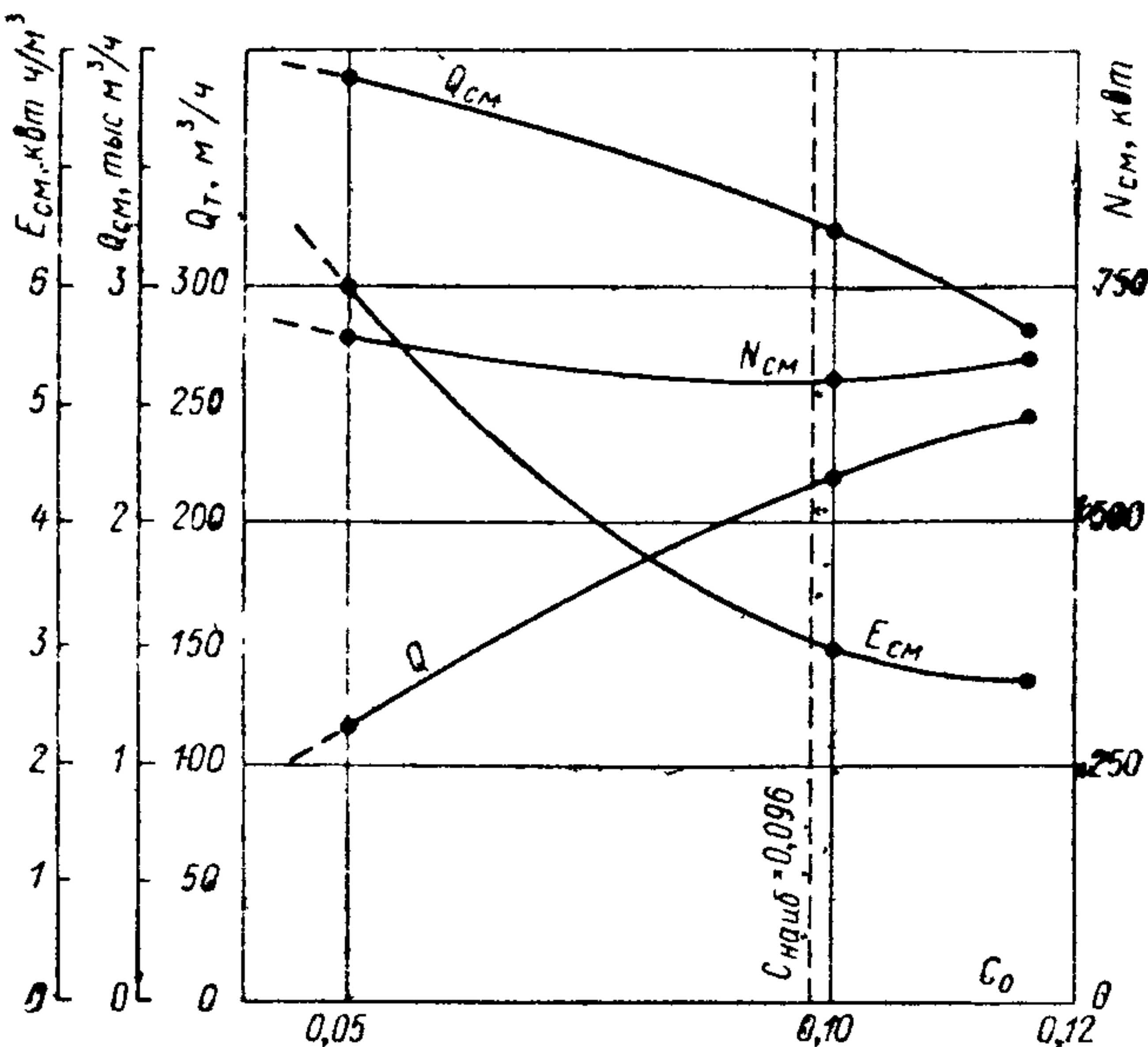


Рис. 13. График $Q_{\text{см}} = f(c_0)$; $Q_{\text{т}} = f(c_0)$; $N_{\text{см}} = f(c_0)$; $E_{\text{см}} = f(c_0)$.

На графике рис. 13 нанесены кривые $Q_{\text{см}} = f(c_0)$; $Q_{\text{т}} = f(c_0)$; $N_{\text{см}} = f(c_0)$ и $E_{\text{см}} = f(c_0)$. Из рассмотрения графика следует, что кривая зависимости $E_{\text{см}} = f(c_0)$ не имеет минимума, поэтому наивыгоднейшая консистенция берется равной 0,8 $c_{\text{опр}}$, т. е. $c_{\text{наил}} = 0,8 \cdot 0,12 = 0,096$.

При этом $Q_t = 220 \text{ м}^3/\text{ч}$, затраты энергии на перекачку грунта по гидротранспортной системе составит $E_{\text{см}} = 3,05 \text{ квтч}/\text{м}^3$, а потребная мощность на валу грунтового насоса $N_{\text{см}} = 655 \text{ квт}$.

Фактический расход гидросмеси $Q_{\text{см}} = 3300 \text{ м}^3/\text{ч}$ и скорость транспортирования $v = 3,25 \text{ м/сек}$, что несколько ниже критической скорости $v_{\text{кр}} = 3,60 \text{ м/сек}$, поэтому гидротранспорт будет осуществляться при небольшом слое заложения, который определяется по формуле (3).

Пример 2. Упрощенный расчет наивыгоднейшего режима работы гидротранспортной системы по паспортным (табличным) данным грунтового насоса

Исходные данные к расчету те же, что и в примере 1. Расчет при заданных характеристиках грунта выполняется в следующей последовательности.

1) согласно табл. 9 принимаем $T : \dot{J} = 1 : 9$, тогда при пористости грунта $m = 0,35$ $c_0 = 0,068$;

2) согласно табл. 8 для грунтового насоса типа 20Р-11 расход $Q = 4200 \text{ м}^3/\text{ч}$;

3) диаметр трубопровода по номограмме рис. 8 равен $D = 0,64 \text{ м}$. В расчете принимается $D = 0,60 \text{ м}$,

4) расчетная скорость движения гидросмеси $v = \frac{1,17}{0,28} = 4,15 \text{ м/сек}$;

5) критическая скорость вычисляется по формуле (1) $v_{\text{кр}} = 3,45 \text{ м/сек}$ а расход, соответствующий этой скорости, — по формуле (2) $Q_{\text{кр}} = 0,97 \text{ м}^3/\text{сек} = 3500 \text{ м}^3/\text{ч}$.

Так как расчетная скорость больше критической, трубопровод будет работать без заложения.

6) удельные потери напора на трение при движении воды с расчетной скоростью v вычисляются по формуле (5):

$$100I_B = 1,06 \frac{4,15^2}{2 \cdot 9,81 \cdot 0,60} = 1,53,$$

где для гидравлически гладких труб $D = 0,60 \text{ м}$ коэффициент сопротивления принят, по данным табл. 3, равным $100\lambda_B = 1,06$;

7) дополнительные удельные потери напора определены по формуле (8):

$$100\Delta I = 100 \cdot 0,03 \cdot \sqrt[4]{0,83} \cdot \sqrt[3]{0,068^2} \cdot \frac{3500}{4200} = 0,48;$$

8) удельные потери напора на трение составляют: $100I_{\text{см}} = 1,53 + 0,48 = 2,01$;

9) суммарные потери напора в трубопроводе $D = 0,60 \text{ м}$ длиной 1500 м при геодезическом подъеме 10 м подсчитаны по формуле (14) с учетом местных потерь напора, равных 10% от суммарных потерь напора и коэффициенте запаса $k = 1,15$.

$$H_{\text{см}} = 1,15 \left[1,10 \cdot 2,01 \cdot \frac{1500}{100} \right] + 10 \cdot 1,15 = 49,7 \text{ м} < 52 \text{ м}.$$

Напор грунтового насоса типа 20Р-11 равен 52 м (см. табл. 8).

Пример 3. Расчет характеристик грунта с двухмодальным распределением фракций гранулометрического состава

Гранулометрический состав грунта приведен в табл. 21.

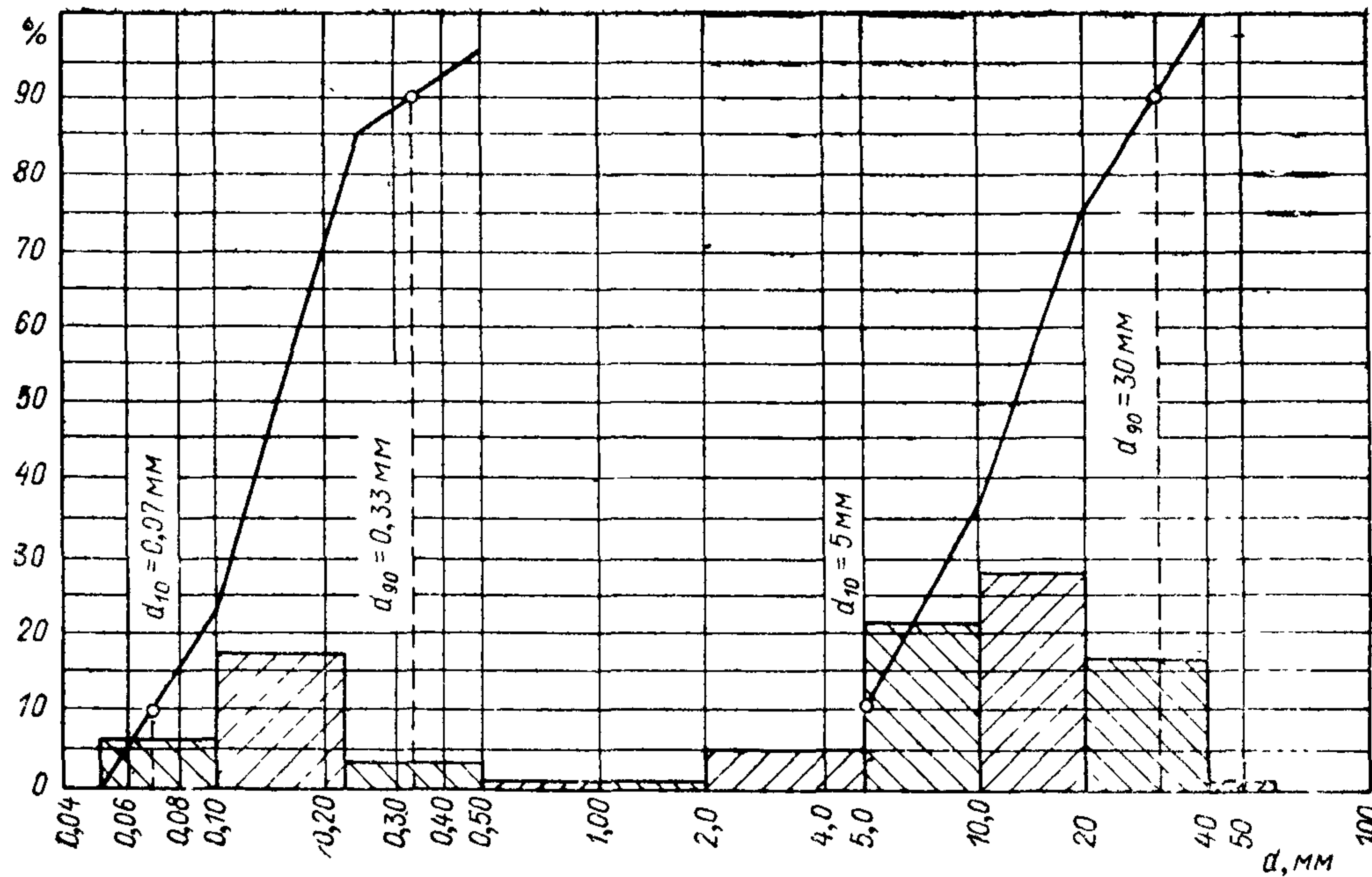


Рис. 14. Кривые гранулометрического состава и гистограмма фракций двухмодального грунта.

Таблица 21

| Размер фракций, мм | 0,05—0,10 | 0,10—0,25 | 0,25—0,50 | 0,50—1,0 | 1—2 | 2—5 | 5—10 | 10—20 | 20—40 | 40—60 |
|--------------------|-----------|-----------|-----------|----------|-----|-----|------|-------|-------|-------|
| Содержание, % | 6 | 17 | 3 | 1 | 1 | 5 | 21 | 28 | 17 | 1 |

1) строится гистограмма гранулометрического состава грунта (рис. 14), из рассмотрения которой следует, что грунт относится к группе двухмодальных грунтов;

2) выделяются фракции 0,05—1 мм, которых в составе содержится 27%, и 1—60 мм которых в составе содержит 73%;

3) производится пропорциональный пересчет содержания фракций каждой составляющей грунта (табл. 22 и 23);

Таблица 22

| Размер фракций, мм | 0,05—0,10 | 0,10—0,25 | 0,25—0,50 | 0,50—1,0 | Σ |
|--------------------|-----------|-----------|-----------|----------|-----------|
| Содержание, % | 6 22,2 | 17 63 | 3 11,1 | 1 3,7 | 27 100 |

Таблица 23

| Размер фракций, мм | 1—2 | 2—5 | 5—10 | 10—20 | 20—40 | 40—60 | Σ |
|--------------------|----------|----------|------------|------------|------------|----------|-----------|
| Содержание, % | 1 1,4 | 5 6,9 | 21 28,7 | 28 38,3 | 17 23,3 | 1 1,4 | 73 100 |

4) кривые гранулометрического состава составляющих грунта приведены на рис. 14. С помощью этих кривых определяется коэффициент разнозернистости каждой составляющей:

$$j_1 = \frac{3 \cdot 0,07}{0,33} = 0,64; \quad j = \frac{3 \cdot 5,0}{30} = 0,50;$$

5) определяется средневзвешенный коэффициент разнозернистости смеси двух составляющих грунта

$$j_{cp} = \frac{0,64 \cdot 27 + 0,5 \cdot 73}{100} = 0,54;$$

6) рассчитывается средневзвешенная крупность всего состава грунта

$$d_c = \frac{1}{100} [0,075 \cdot 6 + 0,175 \cdot 17 + 0,375 \cdot 3 + 0,75 \cdot 1 + 1,5 \cdot 35,5 + 75 \cdot 21 + 15 \cdot 28 + 30 \cdot 17 + 50 \cdot 1] = 11,6 \text{ мм};$$

7) рассчитывается средневзвешенный коэффициент всего состава грунта:

$$\Psi_{cp} = 1,47.$$

СОДЕРЖАНИЕ

| | Стр. |
|--|------|
| Предисловие | 3 |
| 1. Основные положения | 4 |
| 2. Характеристика гранулометрического состава грунта | 6 |
| 3. Гидравлический расчет напорных трубопроводов | 8 |
| А. Расчет критической скорости движения гидросмеси | 8 |
| Б. Расчет удельных потерь напора на трение | 8 |
| В. Расчет местных гидравлических сопротивлений | 11 |
| Г. Расчет суммарных потерь напора в трубопроводах при гидравлическом транспорте | 12 |
| 4. Пересчет рабочих характеристик грунтовых насосов с воды на гидросмесь | 13 |
| 5. Определение наивыгоднейшего режима работы гидротранспортной системы | 14 |
| А. Расчет наивыгоднейшего режима работы гидротранспортной системы по рабочим характеристикам насоса и трубопровода | 14 |
| Б Упрощенный расчет наивыгоднейшего режима работы гидротранспортной системы по паспортным (табличным) данным грунтового насоса | 17 |
| Приложения | 19 |
| 1. Обоснование методики гидравлического расчета гидротранспортных систем, подающих грунтовые смеси | 19 |
| 2 Классификация крупнообломочных и песчаных грунтов (по СНиП II-Б. 1-62) | 22 |
| 3. Значения $c_0^{1,2}$; $c_0^{1/6}$; $c_0^{2/3}$ | 23 |
| 4. Примеры расчета | 23 |

Цена 29 коп.